



# VYSOKÉ UČENÍ TECHNICKÉ V BRNĚ

BRNO UNIVERSITY OF TECHNOLOGY

**FAKULTA STROJNÍHO INŽENÝRSTVÍ**  
FACULTY OF MECHANICAL ENGINEERING

**ÚSTAV KONSTRUOVÁNÍ**  
INSTITUTE OF MACHINE AND INDUSTRIAL DESIGN

**NÁVRH A OVĚŘENÍ FUNKCE STANICE PRO KALIBRACI  
SNÍMAČŮ AE PŘI TESTOVÁNÍ LOŽISEK**  
DESIGN AND VERIFICATION OF STATION FOR CALIBRATION OF AE SENSORS FOR BEARING TESTING

**DIPLOMOVÁ PRÁCE**  
MASTER'S THESIS

**AUTOR PRÁCE** Bc. Matej Bančák  
AUTHOR

**VEDOUCÍ PRÁCE** doc. Ing. Pavel Mazal, CSc.  
SUPERVISOR

**BRNO 2017**



## Zadání diplomové práce

Ústav: Ústav konstruování

Student: Bc. Matej Bančák

Studijní program: Strojní inženýrství

Studijní obor: Konstrukční inženýrství

Vedoucí práce: doc. Ing. Pavel Mazal, CSc.

Akademický rok: 2016/17

Ředitel ústavu Vám v souladu se zákonem č. 111/1998 o vysokých školách a se Studijním a zkušebním řádem VUT v Brně určuje následující téma diplomové práce:

### Návrh a ověření funkce stanice pro kalibraci snímačů AE při testování ložisek

#### Stručná charakteristika problematiky úkolu:

Kvalita a parametry snímačů rozhodujícím způsobem ovlivňují výsledky zkoušek realizovaných metodou akustické emise. Opakovaným využitím snímačů jejich vlastnosti v čase postupně degradují a je nutno provádět pravidelnou kalibraci. Tato kalibrace je realizována u externích dodavatelů. Realizace zařízení umožní operativně provádět srovnávací kalibraci a sledovat změny snímačů v závislosti na jejich exploataci.

Typ práce: výzkumná

Projekt: MPO

#### Cíle diplomové práce:

Cílem je konstrukční návrh a ověření funkčnosti přenosné stanice pro srovnávací kalibraci snímačů akustické emise, které jsou určeny pro diagnostiku poškození valivých ložisek.

#### Dílčí cíle diplomové práce:

- návrh konstrukčního řešení kalibrační stanice,
- realizace a ověření funkčnosti stanice,
- provedení základních experimentů a návrh metodiky kalibrace.

Požadované výstupy: funkční vzorek, průvodní zpráva, výkres sestavení, laboratorní protokol.

Rozsah práce: cca 72 000 znaků (40 - 50 stran textu bez obrázků).

Struktura práce a šablona průvodní zprávy jsou závazné:

[http://dokumenty.uk.fme.vutbr.cz/BP\\_DP/Zasady\\_VSKP\\_2017.pdf](http://dokumenty.uk.fme.vutbr.cz/BP_DP/Zasady_VSKP_2017.pdf)

**Seznam doporučené literatury:**

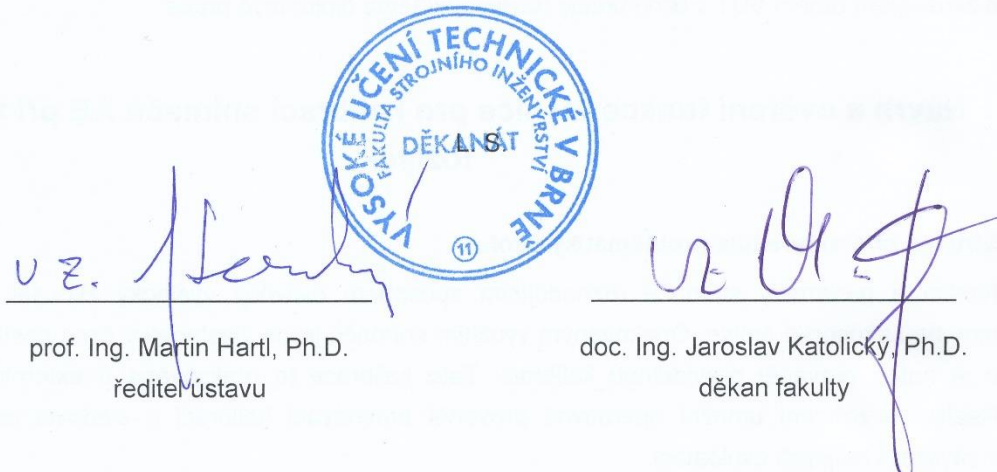
SHIGLEY, Joseph E., MISCHKE, Charles R., BUDYNAS, Richard G.: Konstruování strojních součástí. Translation Hartl, M. a kol., překlad 7. vydání , VUTIUM, Brno, 2010, 1160 s., ISBN 978-80-214-2629-0.

KREIDL, Marcel, ŠMÍD, Radislav: Technická diagnostika - senzory, metody, analýza signálu. BEN-Technická literatura, Praha, 2006, 410 s., ISBN 80-7300-158-6.

SHULL, Peter J.: Nondestructive Evaluation - Theory, Techniques, and Applications. Marcel Dekker, New York, 2002, 844 s., ISBN 0-8247-8872-9.

Termín odevzdání diplomové práce je stanoven časovým plánem akademického roku 2016/17.

V Brně, dne 4. 11. 2016



---

## **ABSTRAKT**

Diplomová práca sa zaoberá kalibráciou snímačov AE, používaných pri diagnostike ložísk. V konštrukčnej časti boli navrhnuté dve rôzne koncepcné riešenia obdobné zariadeniam používaných pri diagnostike ložísk. Následne bolo zostavené experimentálne zariadenie určené pre relatívnu kalibráciu s využitím rotácie ložísk ako zdroja spojitej AE. Experimentálna časť je orientovaná na pozorovanie priebehu parametru RMS, ktorý v práci slúži ako vyhodnocovací parameter citlivosti snímačov. Ako zdroje AE boli použité ložiská s určitým typom poškodenia, čo umožnilo tvorbu charakteristik citlivosti podľa daného druhu poškodenia. Boli vytvorené charakteristiky citlivosti vybraných snímačov AE, ktoré slúžia na stanovenie efektivity pri relatívnej kalibrácii. Bola pozorovaná exponenciálna závislosť citlivosti snímačov MDK-13 na softwarovom zosilnení analýzátora AE. Vytvoril sa návrh metódy kalibrácie pre snímače typu MDK-13 na princípe porovnávania so stanoveným referenčným snímačom.

## **KLÚČOVÉ SLOVÁ**

Akustická emisia, kalibrácia, snímače AE, valivé ložiska, poškodenie ložísk

---

## **ABSTRACT**

The diploma thesis deals with calibration of AE sensors used in diagnostics of bearings. Two different conceptual solutions similar to those used in the diagnostics of bearings were designed in the design. Subsequently, the experimental device was designed for relative calibration using the rotation of bearings as a continuous AE source. The experimental part is oriented to the observation of the RMS parameter, which serves as a sensor sensitivity evaluation parameter.

As sources of AE, bearings with a certain type of damage were used, which allowed for the formation of sensitivity characteristics according to the type of damage. Sensitivity characteristics of selected AE sensors have been developed to determine the effectiveness in relative calibration. The exponential sensitivity of the MDK-13 sensors was observed on the software amplification of the AE analyzer. A proposal for the calibration method for MDK-13 type sensors was developed on the principle of comparison with the reference sensor.

---

## **KEYWORDS**

Acoustic emission, calibration, AE sensors, rolling bearings, damage of bearings

---



---

## **BIBLIOGRAFICKÁ CITÁCIA**

BANČÁK, M. *Návrh a ověření funkce stanice pro kalibraci snímačů AE při testování ložisek*. Brno: Vysoké učení technické v Brně, Fakulta strojního inženýrství, 2017. 68 s. Vedoucí diplomové práce doc. Ing. Pavel Mazal, CSc..

---



---

## **POĎAKOVANIE**

Týmto by som chcel podčakovať vedúcemu mojej diplomovej práce doc. Ing. Pavlu Mazalovi, CSc., za jeho veľmi cenné rady a veľkú ochotu pri konzultáciách. Ďalej by som chcel podčakovať Ing. Františkovi Vlašicovi, Ph.D. za cenné informácie ohľadne manipulácie s meracím zariadením a vedúcemu dielní Rostislavovi Konečnému za ochotu pri výrobe komponentov experimentálneho zariadenia.

V neposlednej rade patrí podčakovanie mojej rodine, ktorá ma vždy podporovala.

---

## **PREHLÁSENIE AUTORA O PÔVODNOSTI PRÁCE**

Prehlasujem, že som túto diplomovú prácu vypracoval samostatne pod vedením vedúceho práce doc. Ing. Pavla Mazala, CSc. a v zozname som uviedol všetky literárne a odborné zdroje.

V Brne dňa .....  
.....  
Podpis



## OBSAH

<b>1 Úvod .....</b>	<b>13</b>
<b>2 Zhrnutie súčasného stavu poznania odbornej problematiky .....</b>	<b>14</b>
2.1 (NDT) Non-destructive testing .....	14
2.2 Akustická emisia .....	14
2.3 Senzory akustickej emisie .....	14
2.3.1 Piezoelektrické snímače AE .....	15
2.3.2 Piezofilmové snímače .....	16
2.3.3 Optické snímače .....	16
2.3.4 Elektromagneticko-akustické snímače .....	16
2.3.5 Kapacitné snímače.....	17
2.4 Kalibrácia snímačov AE.....	17
2.4.1 Absolútна kalibrácia .....	18
2.4.2 Relatívna kalibrácia .....	18
2.5 Aplikácia metódy akustickej emisie na pozorovanie defektov ložísk a konštrukcia meracích staníc.....	19
2.5.1 Konštrukcia stanice pre skúšky pomalybežných ložísk .....	19
2.5.2 Konštrukcia vertikálnej stanice pre skúšky ložísk.....	21
2.5.3 Konštrukcia stanice pre skúšky ložísk na VUT .....	22
<b>3 Analýza problému a ciele práce .....</b>	<b>24</b>
<b>4 Materiál a metódy .....</b>	<b>26</b>
4.1 Návrh konštrukcie experimentálneho zariadenia .....	26
4.2 Koncepčné riešenie č. 1 .....	26
4.3 Koncepčné riešenie č. 2 .....	28
4.3.1 Modely kalibračnej časti .....	28
4.3.2 Favorizované riešenie.....	29
4.4 Hsu-Nielsenov zdroj (Pen-test) .....	30
4.5 Metodika hodnotenia snímačov AE.....	31
4.5.1 Systém DAKEL XEDO .....	32
4.5.2 Program Xedo Daemon a Daeshow .....	33
4.5.3 Postup merania.....	33
4.5.4 Vyhodnocovací postup.....	34
4.5.5 Použité softwarové zosilnenie .....	35
4.5.6 Použité ložiska .....	35
4.5.7 Použité snímače .....	36
<b>5 Výsledky.....</b>	<b>37</b>
5.1 Konštrukčná časť .....	37
5.2 Favorizovaný návrh .....	37
5.3 Kalibračné teleso.....	38
5.4 Vlastnosti použitého elektromotora .....	39
5.4.1 Regulácia otáčok.....	40
5.5 Zostavenie experimentálneho zariadenia .....	41
5.6 Experimentálna časť .....	43
5.7 Metodika hodnotenia snímačov AE.....	43
5.7.1 Voľba referenčného snímača Pentestom.....	43

---

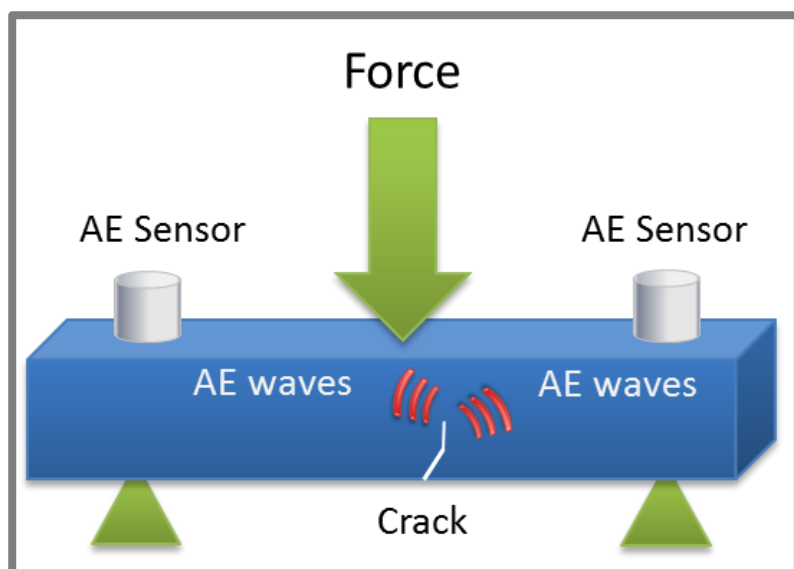
<b>5.8 Vyhodnotenie výsledkov testovania kalibračnej metódy s väzbovým médiom .....</b>	<b>45</b>
5.8.1 Spôsob spracovania signálu .....	45
5.8.2 Nulová hladina komunikačných kanálov (Vplyv hladiny šumu) .....	46
5.8.3 Experimenty so softwarovým zosilnením 0 dB .....	46
5.8.4 Experimenty pri softwarovom zosilnení 10 dB .....	48
5.8.5 Experimenty pri softwarovom zosilnení 20 dB .....	49
5.8.6 Experimenty dlhších kalibračných časov .....	49
5.8.7 Vplyv zmyslu rotácie .....	50
<b>5.9 Výsledky z kalibračných testov bez väzbového média .....</b>	<b>51</b>
<b>5.10 Charakteristiky snímačov AE MDK-13 .....</b>	<b>52</b>
5.10.1 Charakteristika citlivosti snímača MDK-13-1 .....	52
5.10.2 Charakteristika citlivosti snímača MDK-13-2 .....	53
5.10.3 Charakteristika citlivosti snímača MDK-13-3 .....	54
5.10.4 Charakteristika citlivosti snímača MDK-13-4 .....	54
<b>5.11 Návrh metódy kalibrácie .....</b>	<b>55</b>
<b>6 Diskusia.....</b>	<b>57</b>
6.1 Konštrukčná časť .....	57
6.2 Experimentálna časť .....	57
<b>7 Záver .....</b>	<b>60</b>
<b>8 Zoznam použitých zdrojov .....</b>	<b>61</b>
<b>9 Zoznam použitých skratiek, symbolov a veličín.....</b>	<b>64</b>
<b>10 Zoznam obrázkov a grafov.....</b>	<b>65</b>
<b>11 Zoznam tabuľiek.....</b>	<b>67</b>
<b>12 Zoznam príloh .....</b>	<b>68</b>

## 1 ÚVOD

Akustická emisia (ďalej len AE) je fyzikálny jav, pri ktorom sa vplyvom dynamických procesov v materiáli uvoľňuje elasticá energia a šíri sa prostredníctvom prechodových vĺn (Obr. 1-1). Na povrchu telesa sa elasticé vlny transformujú na rôzne typy vlnenia, ktoré odpovedajú danej veľkosti a tvaru. Kolmé zložky vĺn k povrchu vytvárajú napäťové vlny, ktoré sa pozorujú (najčastejšie) za pomocí piezoelektrických snímačov. Tieto snímače prevádzajú napäťové vlny na elektrický signál, ktorý sa následne spracúva v meracích zariadeniach [3]. Avšak pre spoľahlivú a presnú funkciu snímačov je nutná ich pravidelná kalibrácia.

Výskum udáva, že akustická emisia dokáže byť veľmi spoľahlivá pri detekcii defektov ložísk. Jej citlosť na prítomnosť akejkoľvek nerovnosti či defektu je niekoľkonásobne vyššia ako u standardizovaných metód, ktorou je napr. *metóda vibrácií, analýza statorových prúdov apod* [1].

Táto diplomová práca je zameraná na návrh, realizáciu a nasledovné overenie funkcie stanice pre kalibráciu snímačov akustickej emisie. Ďalším bodom bude zostavanie metodiky hodnotenia kalibrovaných piezoelektrických snímačov (ktorými disponuje ÚK) a ich následná klasifikácia do kvalitatívnych kategórií. Kalibrácia bude realizovaná na skonštruovanej stanici. Ústav konstruování je zameraný mimo iné aj na výskum kontaktnej únavy materiálov a trvanlivosti ložísk s využitím moderných diagnostických postupov. Preto sú znalosti parametrov snímačov AE pri tomto druhu zatážovania nutnosťou.



Obr. 1-1 Princíp Akustickej emisie [12]

## **2 ZHRNUTIE SÚČASNÉHO STAVU POZNANIA ODBORNEJ PROBLEMATIKY**

### **2.1 (NDT) Non-destructive testing**

NDT je skratkou pre nedeštruktívne testovanie konštrukcií a materiálov. Toto odvetvie technickej diagnostiky je zamerané na oblasť testov, ktoré nenarúšajú funkciu zariadenia a žiadnym spôsobom nedeformujú testované teleso. NDT metódy pracujú na princípoch, ktoré charakterizujú súčasný stav z hľadiska prítomnosti trhlín, technologických prasklín a iných defektov prítomných v materiáli. Primárnym cieľom týchto metód je identifikácia, lokalizácia a orientácia šírenia defektu, ktorý sa v danom telesu vyskytuje. Na základe takto získaných poznatkov sme schopní posudzovať stav testovaného telesa alebo zariadenia. Či testovaný materiál obsahuje defekt je možné zistiť na základe rôzneho typu fyzikálnych zmien, ktoré by v bezdefektovom materiáli nenastali. Táto zmena sa prejavuje napr. zmenou toku vírivých prúdov, zmenou intenzity žiarenia alebo v smere šírenia UZ vln.

Toto odvetvie sa začalo rozvíjať v 20. storočí a postupne sa z neho stal nenhraditeľný odbor technickej diagnostiky.

### **2.2 Akustická emisia**

Je to diagnostická metóda, ktorá pozoruje vznik a rast rôznych typov porúch v materiáli a na povrchu. Vznik a šírenie trhlín v krehkých materiáloch zapríčinuje lokálne uvoľnenie deformačnej energie v mieste výskytu trhliny. Vo výsledku dochádza k šíreniu elastických vln v testovanom telesu.

Najdôležitejším prínosom AE v priemysle je, že metóda je schopná zavčasu varovať v prípade okamžitej poruchy. Metóda AE je totiž schopná reagovať na zmenu štruktúry (defekt) už pri jej vzniku a iniciácii.

### **2.3 Senzory akustickej emisie**

Snímač AE je zariadenie, ktoré pri podnietení elastickou vlnou (výchylkou povrchu) generuje elektrický signál. Snímače AE môžu pracovať na viaceru fyzikálnych princípoch. Elektrické signály môžu byť generované pomocou elektromagnetických senzorov, ako sú fonografické snímače, kapacitné snímače, magnetostričné snímače, piezoelektrické snímače alebo pomocou laserových interferometrov (detekcia povrchového posunutia). Presný vzťah medzi vlastnosťami vlny a výstupným signálom bude závisieť na type senzora a druhu vlny [5].

Za ideálny senzor považujeme taký, ktorý by produkoval identickú charakteristiku napäťa-času s charakteristikou amplitúdy-času vlny v bodovom mieste, kde je snímač umiestnený [6]. Žiaden typ snímača však nemožno považovať za ideálny v plnom rozsahu charakterístik. Avšak existuje množstvo dostupných snímačov, ktoré pracujú s dobrou spoľahlivosťou pri konkrétnych typoch vln a v určitých rozsahoch parametrov. Vzhľadom na široké spektrum frekvencií rôznych akustických kvalít obsiahnutých vo väčšine signálov akustickej emisie, takmer každý výše spomenutý typ snímaču dokáže detektovať AE. Za optimálny senzor považujeme taký, ktorý zlepšuje a kvalitne spracúva prijaté dátá. Preto použitie nedôveryhodného resp. nekalibrovaného senzoru môže viest až k nepresnosti celého merania alebo experimentu, najmä pri nízkej amplitúde pozorovaných emisií [6].

Pri nedeštruktívnom testovaní (NDT) je väčšina AE senzorov piezoelektrických (Obr. 2-1). Piezoelektrické snímače AE umožňujú maximálnu citlivosť a preto sú najčastejšie používaným druhom snímačov v aplikáciach AE. Interferometrické a kapacitné snímače sa používajú zväčša ako referenčné snímače pri kalibrácii piezoelektrických [7].

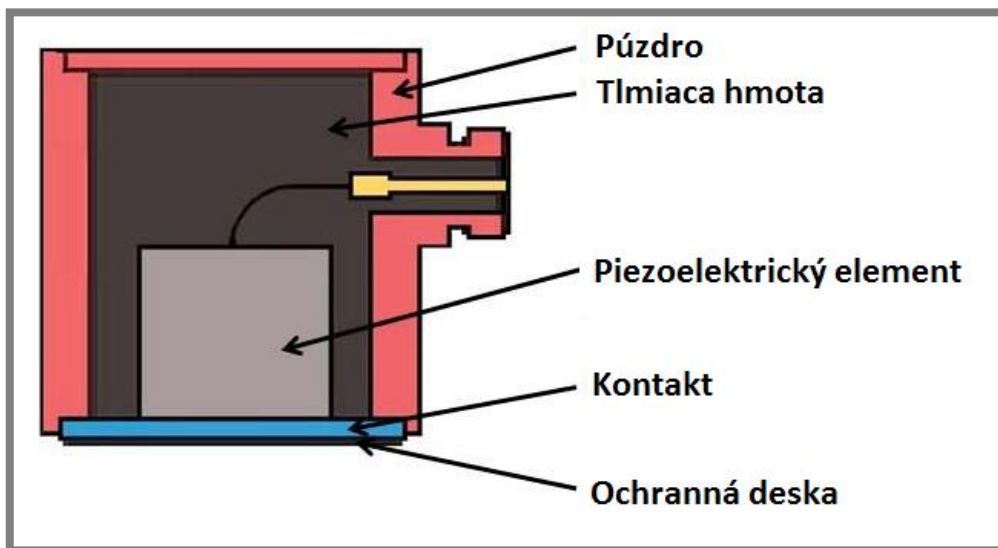


Obr. 2-1 Typy piezoelektrických AE snímačov [11]

### 2.3.1 Piezoelektrické snímače AE

2.3.1

Jedná sa o najpoužívanejšie snímače (Obr. 2-2), ktoré sú závislé na materiáli piezoelektrického elementu. Element sa zvyčajne vyrába zo špeciálneho materiálu ako je barium-titanová, zirkonátová a niobátová keramika. Sú to materiály s Curierovou teplotou (strata piezoelektrických vlastností) v rozmedzí 100- 300°C [8]. Pri teplotách vyšších je potrebné použiť iné materiály ako sú lithium niobáty (1210°C) alebo rezané časti kryštálu kremíku.



Obr. 2-2 Detail piezoelektrického AE snímača [8]

Aktívnym prvkom tohto druhu snímača je piezoelektrický kryštál s elektródou. Kryštál je ochránený ochrannou vrstvou. Na tento piezoelektrický element je pripojený tlmič [9]. Jeho funkciou je rozširovať šírku pásma snímaču, ale z dôvodu zaťaženia kryštálu sa znižuje citlivosť snímača. Tlmiče sú najčastejšie vyrábané z epoxidovej živice s veľkým obsahom wolfrámových častíc alebo mosadze. Požiadavky sú kladené najmä

na veľký útlm a na značnú disperziu pre ultrazvukové vlny. Návrh konštrukcie tlmičov je pri tomto type snímaču najväčším problémom.

#### Rezonančné a širokopásmé piezoelektrické snímače AE

Pri metóde AE sa často stretávame, vďaka požiadavke na vysokú citlivosť, s rezonančnými nezatlmenými snímačmi AE. Snímače AE využívajú väčšinou rezonančnej frekvencie, ktorá sa viaže na priečne radiálne kmity valcovej doštičky piezoelementu. Táto frekvencia určuje frekvenciu a frekvenčné pásmo merania a tým aj radu dôležitých charakteristík merania [4].

Vyššia citlivosť rezonančných snímačov AE znamená, že sa zvýrazňuje citlivosť na jednej rezonančnej frekvencii. Pri potlačení rezonančnej citlivosti snímaču AE získavame širokopásmy snímač AE, ktorý detektuje budiaci signál AE v širokom frekvenčnom spektre s relatívne podobnou citlivosťou. Reprodukuje vernejšie časový priebeh budiaceho pulzu AE a snímač nerozkmitáva (za cenu istého poklesu citlivosti) [4].

---

#### 2.3.2 Piezofilmové snímače

Špeciálny typ piezoelektrických snímačov, využívajúci na funkciu materiál polykryštalických polymérov s piezoelektrickými vlastnosťami [14], ktoré sa vyznačujú najmä 10x vyššou citlivosťou ako snímače piezoelektrické. Dôvodom nižšieho použitia v prevádzke je výrazná závislosť na teplote.

---

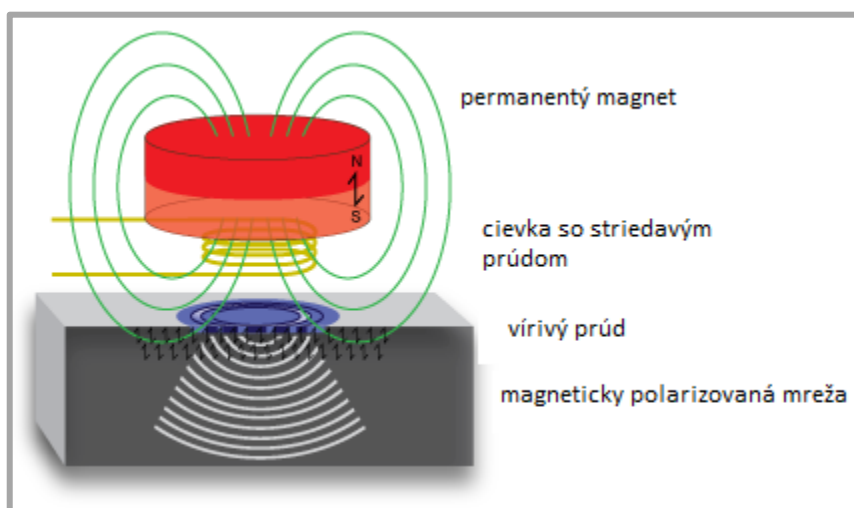
#### 2.3.3 Optické snímače

Laserové interferometre generujú vysokofrekvenčný signál za pomocí Braggovy mriežky. Princíp funkcie je založený na odraze lúču hélio-neónového laseru od povrchu sledovaného telesa späť do snímača [17]. S využitím Dopplerovho javu je možné z výchylky povrchu telesa generovať frekvenčnú alebo fázovú moduláciu laseru. Snímače sa vyznačujú jednoduchou kalibráciou. Nevýhoda týchto snímačov je v nízkej citlivosti.

---

#### 2.3.4 Elektromagneticko-akustické snímače

Electromagnetic acoustic transducers (EMAT) je anglický názov pre bezkontaktné snímače AE (Obr. 2-3) fungujúcich na princípe mechanických kmitov častíc materiálu



Obr. 2-3 Princíp elektromagneticko-akustického snímača [18]

pri pôsobení stáleho magnetického pola [16]. Častice vytvárajú v materiáli meraného telesa striedavý prúd indukujúci prúd v cievke sondy. Sú taktiež schopné vyvolať v skúšanom telese budenie založené na princípe elektromagnetického pulzu. Sú schopné v magnetickom materiáli vyvolať pulz Lorentzovou silou a magnetostričným javom.

### 2.3.5 Kapacitné snímače

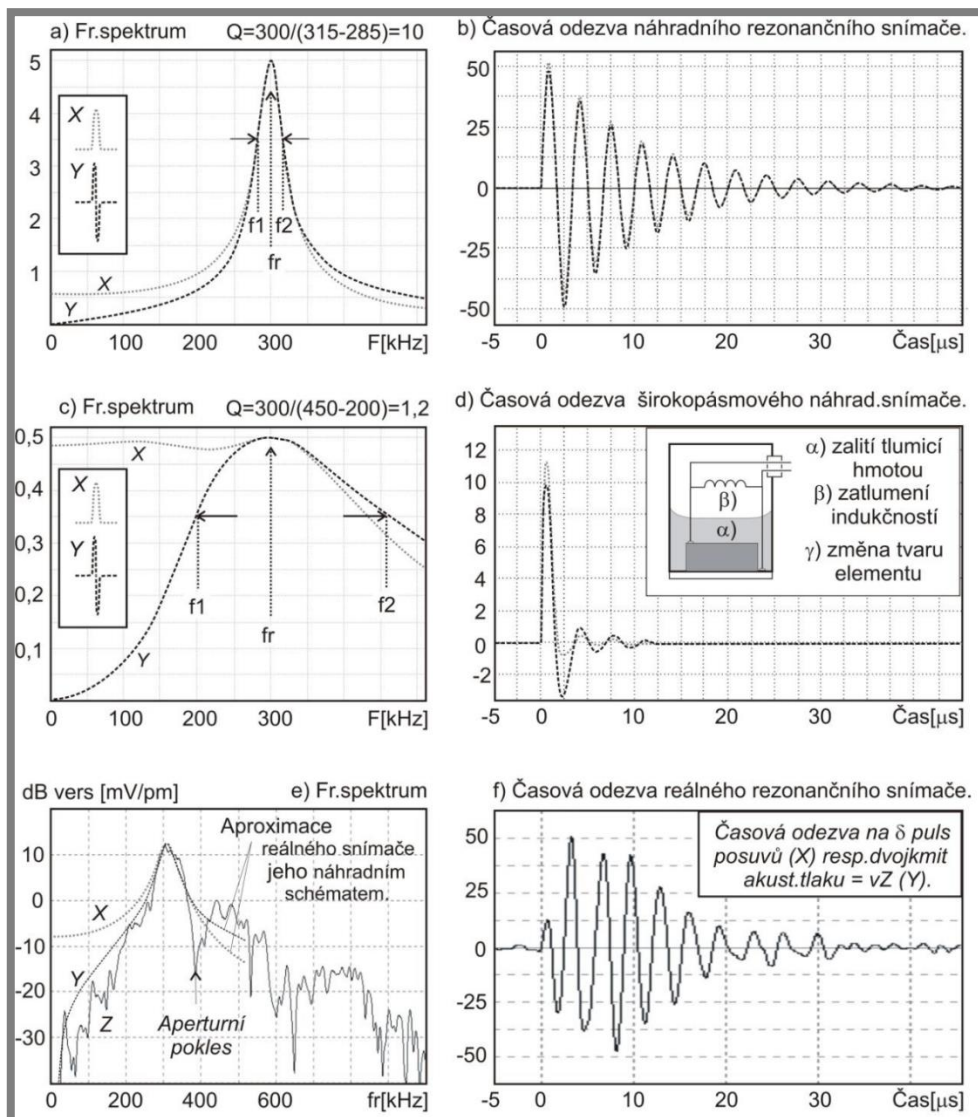
2.3.5

Elastické deformácie (výchylka povrchu) je možné merať aj za pomocí kapacitnej metódy, pri ktorej elektrický signál kopíruje elastické vychýlenie povrchu. Tento jav je vyjadrený rovnou frekvenčnou charakteristikou. Citlivosť týchto snímačov sa v porovnaní s piezoelektrickými dá považovať za nízku [15], avšak šírka snímaného pásma je v rozsahu 10 kHz až 10 MHz.

## 2.4 Kalibrácia snímačov AE

2.4

Snímač AE prevádzka mechanické elastické vlny z povrchu telesa na elektrický signál (2-4). Vlastnosti snímača sa definujú pomerom odozvy výstupného elektrického



Obr. 2-4 Ukážka frekvenčných a časových charakteristík snímačov AE [4]

signálu k vstupnému mechanickému budeniu. Kalibráciou rozumieme určenie hodnôt výstupného elektrického signálu k známemu vstupnému mechanickému budeniu [4]. Existuje viacero druhov kalibrácií, ktoré možno aplikovať na piezoelektrické AE snímače [7]. Časovo a finančne najvhodnejšou je relatívna kalibrácia.

---

#### 2.4.1 Absolútна kalibrácia

Absolútна kalibrácia (Obr. 2-5) znamená, že citlivosť je pomer meranej odozvy elektrického signálu vo Voltoch na budenie uvádzané v metroch (piezoelektrické snímače) či Pascaloch (kapacitné mikrofóny). Avšak budenie AE nie je udávané jednou veličinou (akustickým tlakom pod snímačom) a ani odozva nie je udávaná jedným číslom vo Voltach (časový priebeh výstupného elektrického napäťa). Pritom časové odozvy vstupných a výstupných parametrov nie sú zhodné. To znamená, že citlivosť nie je možné definovať ako jedno číslo rozmeru  $V\text{Pa}^{-1}$  resp.  $V\text{m}^{-1}$ . Hlavná úloha absolútnej kalibrácie spočíva vo voľbe správneho budenia udalosti AE. Tá sa najčastejšie realizuje generátorom pulzov či zlomením kapiláry. Cieľom je na vstupe snímača (v mieste styku povrchu telesa a snímača) vytvoriť approximáciu ostrého  $\delta$  pulzu. Odozva (Obr. 2-4 e,f) na  $\delta$  pulz predstavuje tzv. *prenosovú funkciu*, ktorá reprezentuje základný exaktný popis odozvy systému na prechodové javy. Táto



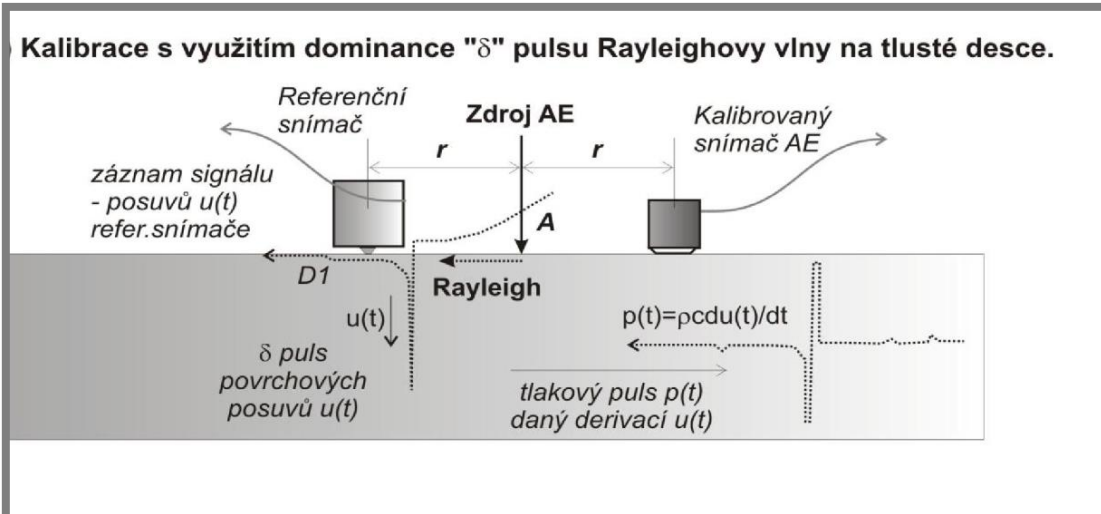
Obr. 2-5 Absolútna kalibrácia AE snímačov realizovaná na FEKT [4]

kalibrácia je však zatiaľ len vedeckým experimentom a väčšina výrobcov senzorov AE používa pre kalibrovanie relatívnu kalibráciu [4].

---

#### 2.4.2 Relatívna kalibrácia

Porovnáva sa odozva rôznych snímačov alebo toho istého snímača v rôznych časoch. Bud' porovnávame iba rozdiely v citlivosti charakteristické maximálnou amplitúdou odozvy signálu (napr. Hsu-Nielsenov zdroj - Pentest, lom kapiláry apod.) alebo používame komplexnejšiu variantu, kedy porovnávame rozdiely frekvenčnej odozvy



Obr. 2-6 Relatívna kalibrácia AE snímačov [4]

(Obr. 2-4) na ten istý budiaci zdroj AE. Hlavnou porovnávacou hodnotou relatívnej kalibrácie je *maximálna amplitúda*. Pri relatívnej kalibrácii (Obr. 2-6) je potrebné, aby pri každom kalibrovaní bolo budenie totožné. To platí aj pre kalibračné teleso, vzájomné umiestenie budiaceho zdroja a snímačov AE. Údaje o veľkosti a priebehu mechanického budenia nie sú podstatné [4].

## 2.5 Aplikácia metódy akustickej emisie na pozorovanie defektov ložísk a konštrukcia meracích staníc

2.5

Pri rotácii ložísk dochádza k spojitej udalosti AE, čo je iný prípad ako u lomu kapilárneho Pen-teste, kde dochádza k nespojitému charakteru udalosti AE. Preto by kalibrácia mala byť prispôsobená princípu diagnostike ložísk.

Dôležitosť merania a pozorovania ložísk je zásadným aspektom pri celkovej diagnostike strojov a mechanizmov. Ich funkcie zaistujú spoločný chod stroja.

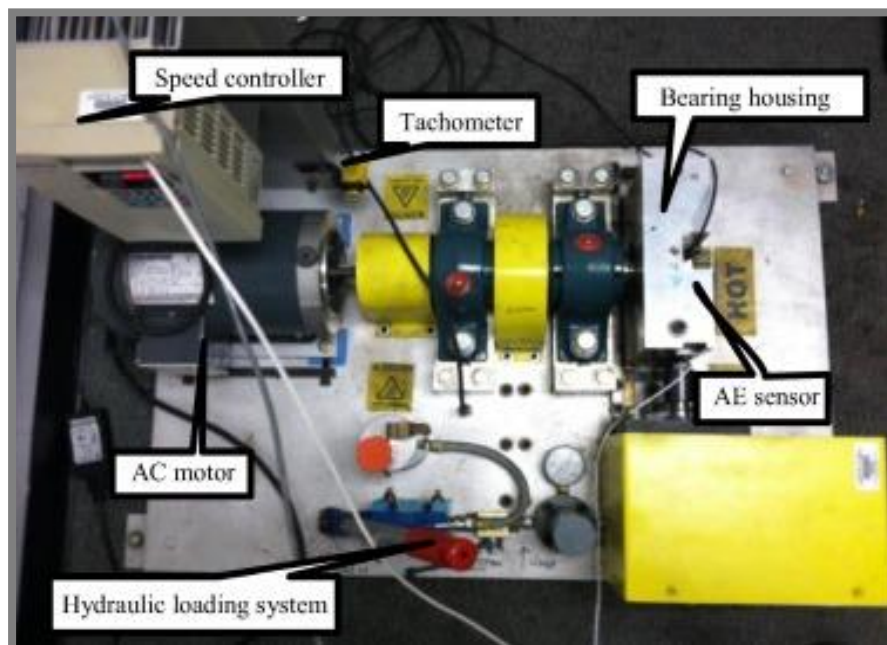
Vo väčšine prípadov pozorovania defektov ložísk sa používa rozsiahla metóda vibrácií. Vibrácie sú merané použitím senzorov vibrácií, ako sú akcelerometre a vibračné meniče rýchlosťi. Pri tejto metóde sa pozoruje prevažne zmena rýchlosťi skúšaného objektu [9]. Avšak použitie tejto metódy je obmedzené, najmä pri detekcii počiatku trhliny [1]. Preto sa vedci začali zameriavať na využitie metódy akustickej emisie v skúmaní defektov ložísk. Citlivosť na prítomnosť trhliny a vysoký odstup hitu AE od šumu sú dôležité výhody tejto metódy. Avšak jej nevýhodou je potreba kvalifikovanej obsluhy a AE snímačov [2].

V súčasnosti sa však nikto nezameriava na relatívnu kalibráciu s využitím ložísk ako zdroja AE.

### 2.5.1 Konštrukcia stanice pre skúšky pomalybežných ložísk

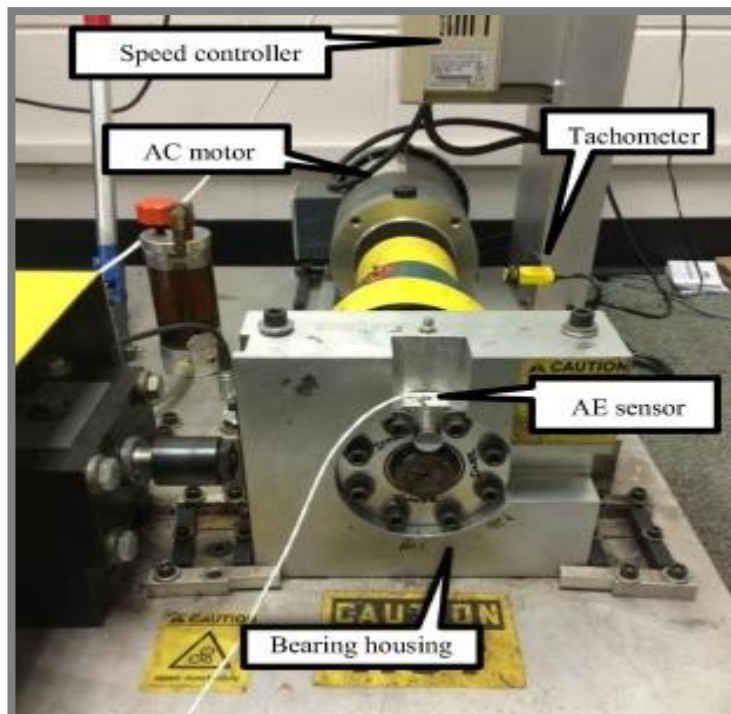
2.5.1

V štúdiu [10] zameranej na diagnostiku ložísk s defektom je preukázané, že aj pri nízkych otáčkach ložiska ( $>10$  Hz) je možné, za použití heterodynovej techniky, detektovať AE. Pri tomto experimente bola použitá zariadenie (Obr. 2-7), ktorá umožňovala relatívne kvalitnú detekciu AE. Dôvodom je umiestnenie skúšaného ložiska (na konci hriadeľu). Pri úprave zaznamenaného signálu sa totiž dajú odstrániť zložky



Obr. 2-7 Stanica pre skúšky pomalybežných ložísk [10]

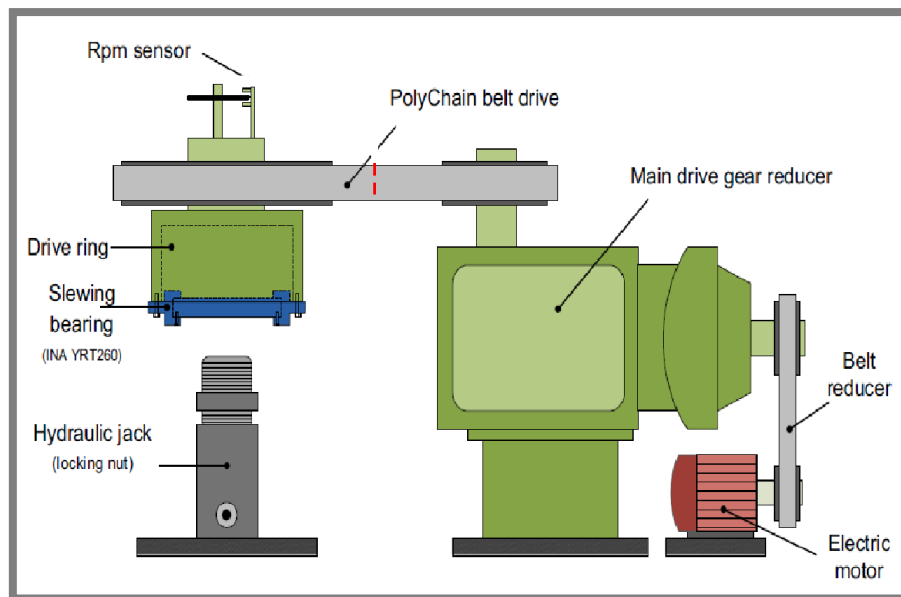
z určeného smeru [5]. Uloženie skúšaného ložiska na koniec hriadeľu tiež umožňuje veľmi jednoduchú výmenu ložiska bez demontáže väčšej časti stanice (Obr. 2-8). Na stanici je použitý aj tachometer pre získanie čo najadekvátnejších výsledkov. Zaťažovanie skúšaných ložísk je realizované hydraulickým systémom.



Obr. 2-8 Stanica pre skúšky pomalybežných ložísk [10]

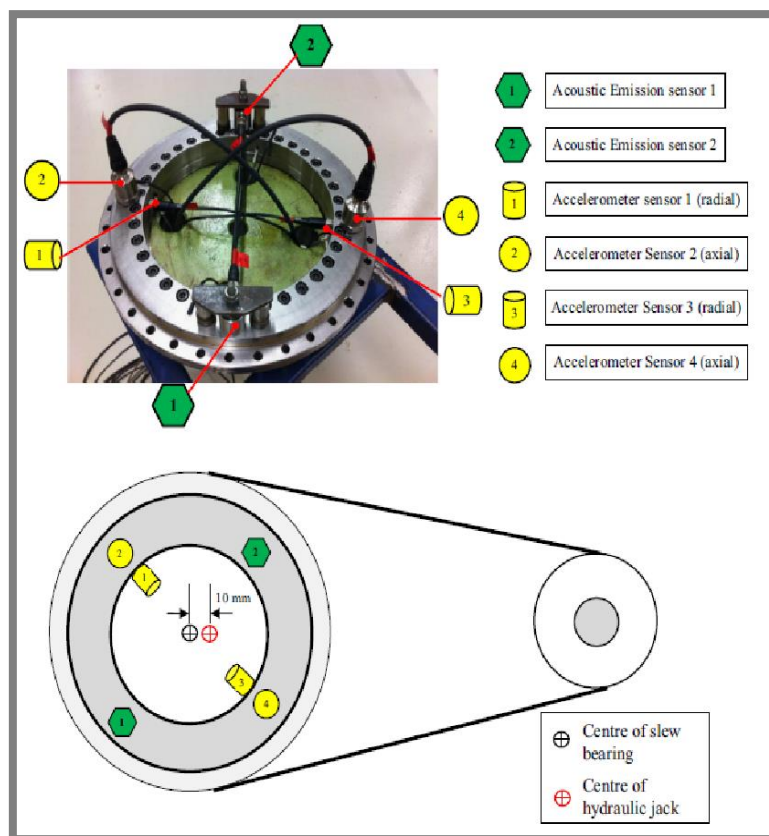
### 2.5.2 Konštrukcia vertikálnej stanice pre skúšky ložísk

V štúdiu [2] sa zaoberali pozorovaním AE, ktoré generujú otočné ložiská. Pri svojom



Obr. 2-9 Stanica pre skúšky otočných ložísk [2]

experimente zostavili experimentálne zariadenie (Obr. 2-9), ktoré umožňovalo rotáciu ložiska za použitia remeňového prevodu, ktorý eliminuje vibrácie z motora a



Obr. 2-10 Detail stanice pre skúšky otočných ložísk [2]  
prevodovky. Zaťažuje sa za pomocí hydraulického valca. Rozloženie použitých

snímačov AE a akcelerometrov (Obr. 2-10) na ložisku je realizované tak, aby bolo možné presne detektovať miesto vznikajúceho defektu. Obr. 2-10 tiež značí miesto zaťažovania hydraulického valca. Zaťažovanie je excentrické z dôvodu vyššieho počtu generovaných udalostí AE (ložisko generuje viac vibrácií).

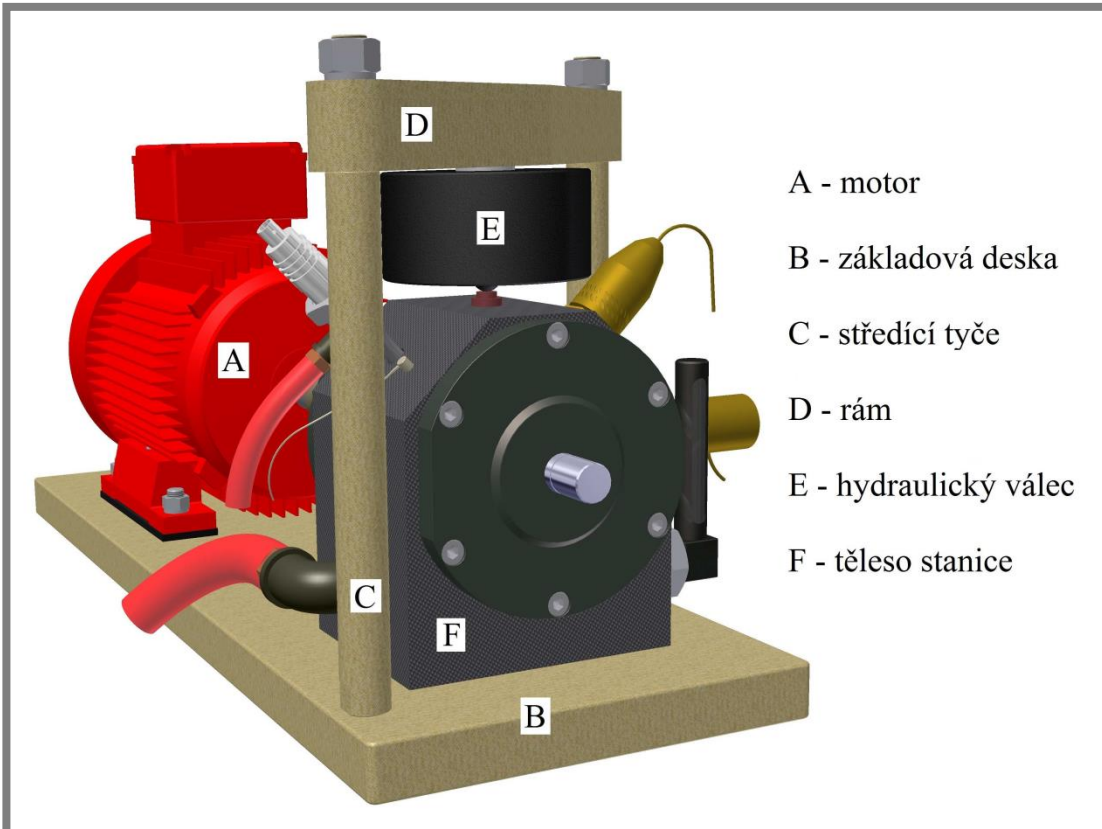
---

### 2.5.3 Konštrukcia stanice pre skúšky ložísk na VUT

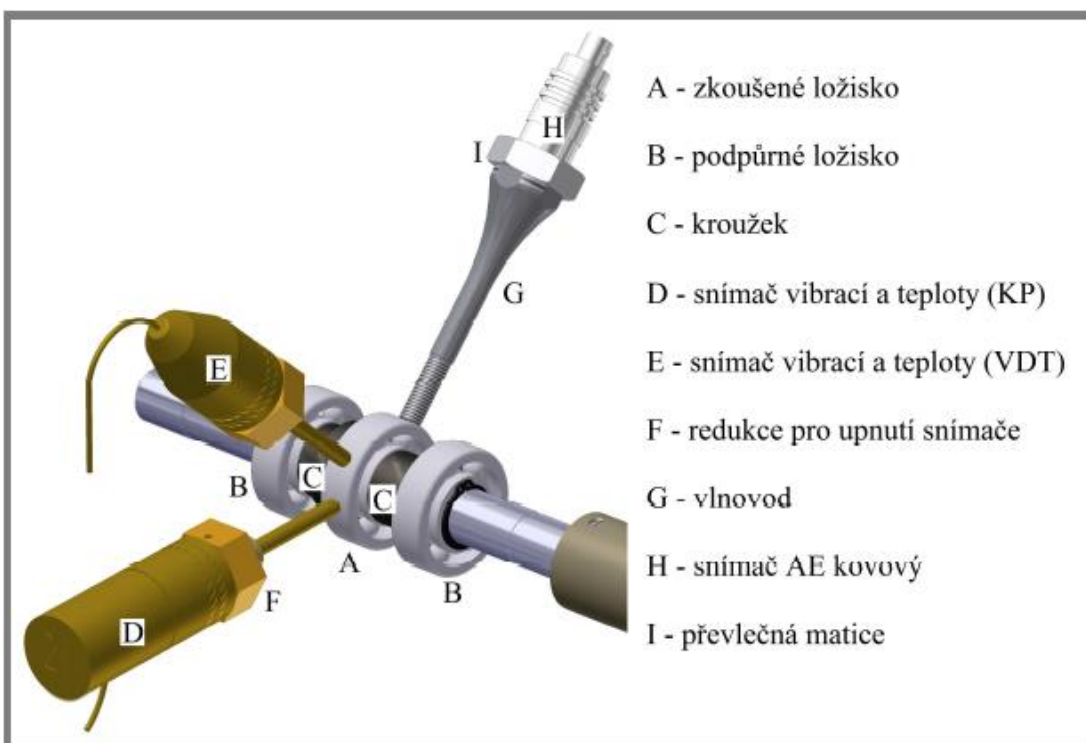
Ústav konstruování Fakulty strojního inženýrství disponuje laboratóriami na experimentálne skúšky ložísk a ložiskových materiálov. Jedná sa zväčša o stanice pre skúšky radiálnych ložísk s označením SA 67 (Obr. 2-11). Tieto stanice umožňujú skúšky radiálnych ložísk rôznych veľkostí, pričom medzne rozmery sú dané veľkosťou stanice [13]. Pre dlhodobé skúšanie ložísk je možné použiť olejovú kúpeľ nezakrytovaných ložísk. Stanica (Obr. 2-12) umožňuje skúšky vibračnej metódy a monitorovanie teploty. Vďaka modifikáciám stanice je tiež možné monitorovať AE (Obr. 2-13). Snímanie AE je realizované z povrchu skúšaného ložiska za pomoci vlnovodu a z povrchu skúšobnej stanice za pomocí magnetických snímačov. Zaťažovanie je taktiež realizované hydraulicky, z dôvodu potreby vyvinúť vysoké tlaky.



Obr. 2-11 Stanica pre skúšky radiálnych ložísk [13]



Obr. 2-12 Model stanice pre skúšky radiálnych ložísk [13]



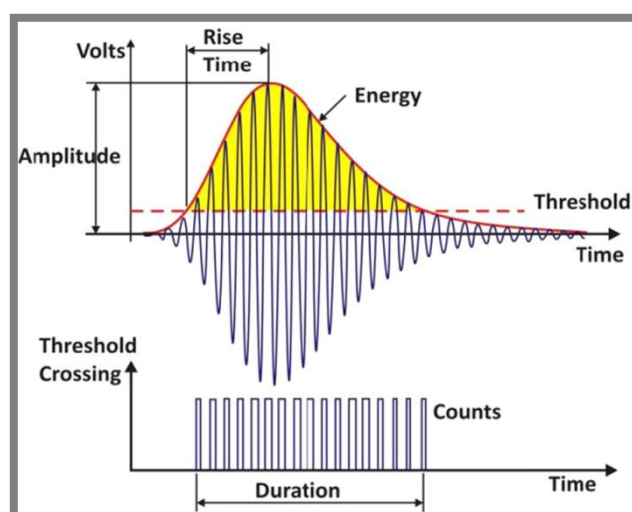
Obr. 2-13 Modifikovaný model stanice pre skúšky radiálnych ložísk pomocou metódy AE [13]

### 3 ANALÝZA PROBLÉMU A CIELE PRÁCE

Podľa publikácií a výskumov je možno posúdiť výhodnosť metódy AE v skúšaní defektov ložísk. Pri porovnávaní s ostatnými metódami je metóda AE najcitlivejšou z hľadiska vzniku a šírenia defektu (Obr.3-1) [1].

Stanicu pre relatívnu kalibráciu snímačov AE, ktorá bude navrhovaná v tejto práci, možno prirovnáť svojou konštrukciou k staniciam pre skúšky ložísk. Rozdielom je len opačná funkcia stanice. Taktiež je nutné podotknúť, že väčšina týchto staníc môže mať príliš vysokú hladinu šumu (vysokú úroveň okolitej AE). Dôvodom je prítomnosť rotačných častí, najmä podperných ložísk. Pre kalibráciu je potrebné mať čistý a jasný signál a preto by návrh stanice mal obsahovať čo najmenej častí vytvárajúcich šum a možnosť vyhovujúcich otáčok ložiska. Pri štúdiu možností rôznych staníc, sme zistili, že zníženie šumu sa dá dosiahnuť použitím remeňového prevodu, ktorý eliminuje ako vibrácie, tak aj AE z elektromotoru [2]. Pre zníženie sa tiež dá navrhnúť konštrukcia tak, aby všetky nežiadúce, budiace zdroje AE boli umiestnené na odtienenej časti stanice. Snímač AE sa totiž dá nastaviť tak, aby signál z časti strane neprijímal [4]. Taktiež by bolo vhodné, aby prístupnosť k ložisku bola čo najjednoduchšia, z dôvodu možnej výmeny ložiska (zdroja AE).

Hlavným cieľom diplomovej práce je vytvorenie podmienok pre relatívnu kalibráciu snímačov AE na Ústave konstruování. Práca obsahuje dva podciele. Prvým je návrh a konštrukcia funkčnej stanice pre relatívnu kalibráciu snímačov AE na základe rotačného pohybu. Návrh tohto experimentálneho zariadenia bude vychádzať z konštrukcií staníc pre skúšanie ložísk. Toto experimentálne zariadenie musí splňať určité predpoklady pre spoľahlivú a presnú relatívnu kalibráciu, ktorá je realizovaná za pomoci rotačného pohybu ložiska ako zdroja AE. Tento typ AE bude meraný piezoelektrickými snímačmi umiestnenými na experimentálnom zariadení. Experimentálne zariadenie bude umožňovať umiestnenie senzorov na viacerých miestach kalibračnej časti a možnosť rôzneho typu upevnenia (magnetické, prilepenie, vlnovod). Cieľom bude na základe zaznamenaného signálu hodnotiť a kategorizovať snímače AE. Posudzovaný bude taktiež vplyv väzobného média medzi snímačom, kalibračnou časťou a ložiskom.



Obr. 3-1 Parametre AE hitu pre jednu udalosť [2]

Druhým podcieľom je vytvorenie a praktické overenie metodiky kalibrácie piezoelektrických snímačov AE, používaných pri skúškach kontaktnej únavy a trvanlivosti ložísk, ktorými disponuje laboratórium pre AE na ÚK VUT v Brne. Podstatou bude rozdeliť senzory AE do viacerých kategórií, na základe ich výstupných signálov za pomocí skonštruovaného zariadenia pre kalibráciu.

Ústav konstuování disponuje cca 50 kusmi snímačov rôznych typov a rôzneho roku výroby. Tieto snímače je nutné pravidelne hodnotiť a určovať ich použiteľnosť, a nastavovanie parametrov (zosilnenie signálu, rozsah frekvencie...) meracieho zariadenia pre ich správnu funkciu.

Diplomová práca sa delí na dva hlavné ciele, ktoré sa dajú rozdeliť do nasledovných dielčích úloh:

Konštrukcia experimentálneho zariadenia:

- Koncepcné návrhy zariadenia pre kalibráciu
  - Výber a realizácia najvhodnejšieho riešenia
  - Test vlastností a overenie správnej funkcie zariadenia
- 

Metodika hodnotenia:

- Kalibrácia vybranej skupiny snímačov AE na funkčnom zariadení
- Vyhodnotenie a kategorizácia vybranej skupiny AE snímačov dostupných v ÚK
- Návrh metodiky hodnotenia snímačov AE

## 4 MATERIÁL A METÓDY

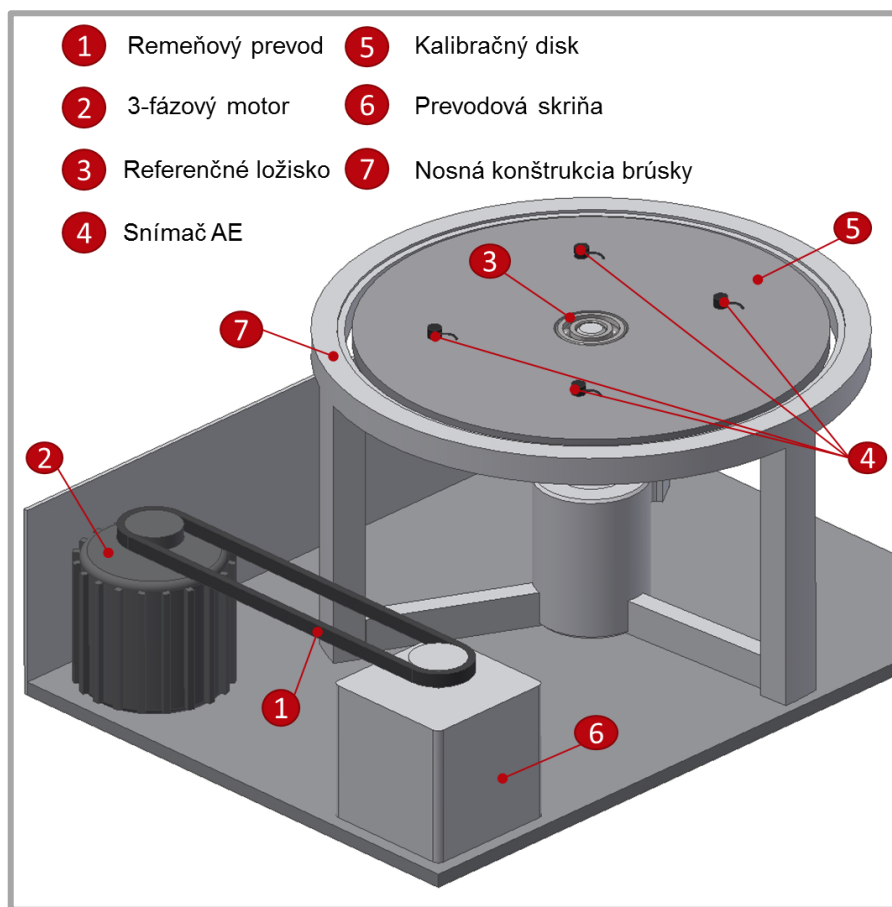
Prvým cieľom diplomovej práce je konštrukcia experimentálneho zariadenia, ktoré (za použitia rotačného pohybu ako zdroja AE) umožňuje kalibráciu snímačov AE. Návrh konštrukcie vychádza zo zariadení používaných pri diagnostike ložísk metódou AE, uvedených v kapitole 2. Hlavným prvkom je rotačné teleso (ložisko), ktoré generuje spojité AE.

### 4.1 Návrh konštrukcie experimentálneho zariadenia

Návrh experimentálneho zariadenia pre kalibráciu ložísk je možno rozdeliť do dvoch hlavných koncepcných riešení na základe orientácie osy hriadeľa. Zvažovala sa možnosť umiestnenia osy rotácie horizontálnym alebo vertikálnym spôsobom. Taktiež sa zariadenie navrhovalo ako nízko nákladové. Ďalšou požiadavkou použitie poškodených ložísk (zdroj AE). Poškodené ložisko generuje vyššie hodnoty AE [10]. Nie je preto vhodné, aby toto ložisko plnilo nosnú funkciu.

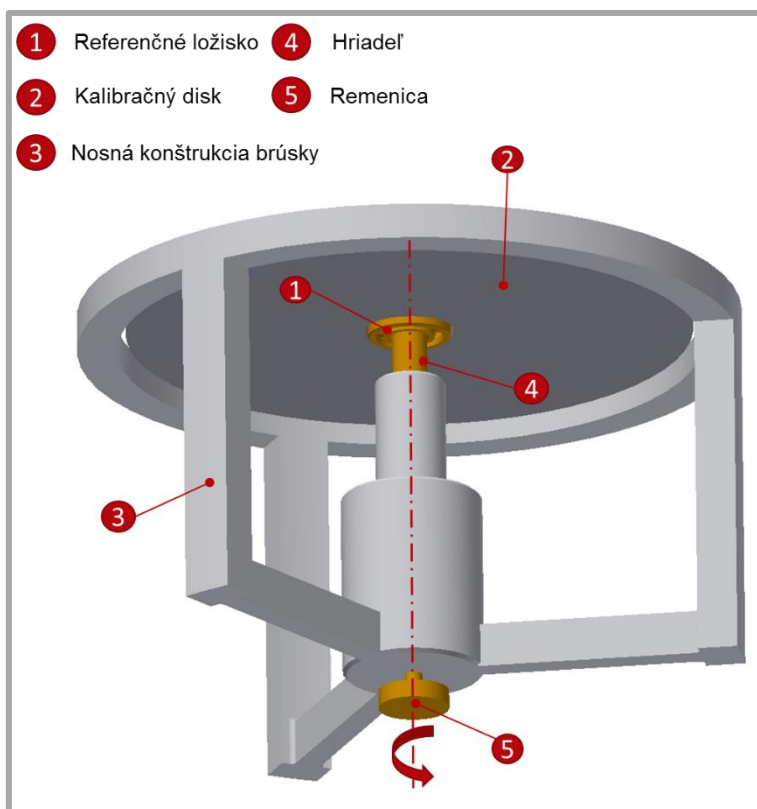
### 4.2 Koncepcné riešenie č. 1

Koncept bol navrhnutý ako modifikácia metalografickej brúsky, vyradenej z prevádzky na UMVI a predanej na pracovisko ÚK. Jedná sa o zariadenie s nosným rámom (Obr.4-1), ktorý by niesol ložisko a kalibračný disk. Pri tejto variante sa použila možnosť regulovať rýchlosť otáčania za pomocí prevodovky, ktorú



Obr. 4-1 Koncept experimentálneho zariadenia vzniknuté modifikáciou metalografickej brúsky

metalografická brúska obsahuje. Prevod medzi elektromotorom a prevodovkou je realizovaný remeňovým prevodom. Remeňový prevod sa nachádza aj medzi prevodovou skriňou a hriadeľom (pod základovou podstavou). Tieto prevody zaistia elimináciu vibrácií. Zariadenie umožňuje vyvinúť tlak na ložisko vyosením kalibračného disku z centrálnej pozície na excentrickú. Na obr. 4-2 je zobrazenie rotačného pohybu, ktorý vykonáva hriadeľ a ložisko. Kalibračný disk ostáva počas prevádzky nehybný a preto je umiestňovanie snímačov AE na jeho povrch



Obr. 4-2 Rotačné prvky koncepčného riešenia (oranžová farba značí rotačné prvky)

realizovateľné. Výhodou je použitie ložísk s väčšími rozmermi. Nevýhodou tohto zariadenia je hmotnosť, takže zariadenie by nebolo byť prenosným.



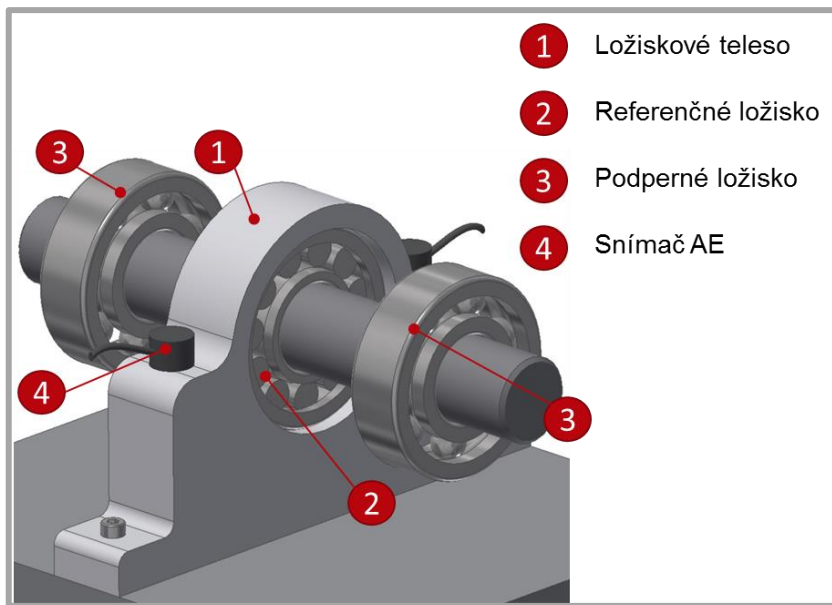
Obr. 4-3 Skelet metalografickej brúskej

## 4.3 Koncepcné riešenie č. 2

Druhé koncepcné riešenie bolo založené na princípe horizontálneho smeru osy rotácie. Bolo vybraných niekoľko modelov kalibračných častí zariadenia, ktoré sú ideálne pre pozorovanie AE.

### 4.3.1 Modely kalibračnej časti

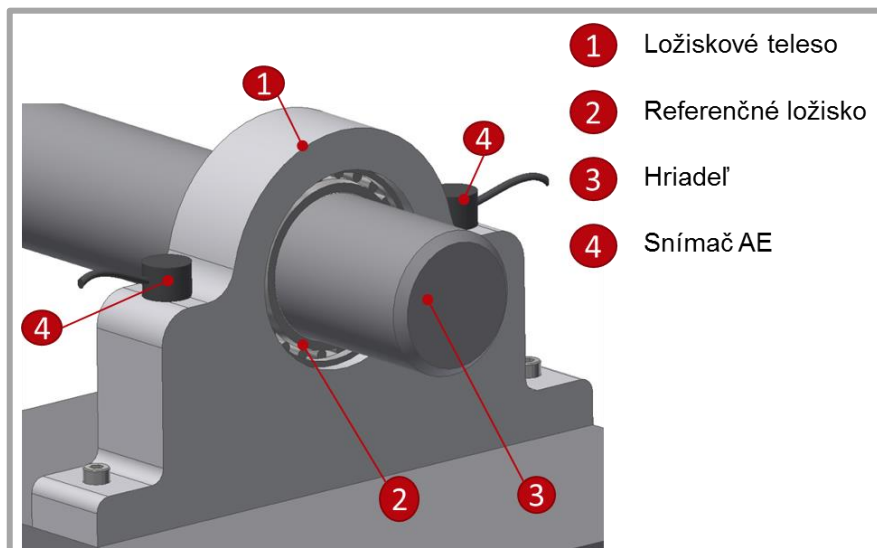
Dôležitou požiadavkou je zredukovanie šumu tvoreného pohyblivými prvkami. Zariadenie preto musí obsahovať minimálny počet rotačných prvkov ako sú podperné ložiská (Obr. 4-4) a konštrukcia by mala generovať len AE z rotačného pohybu



Obr. 4-4 Model kalibračnej časti s podpernými ložiskami

ložiska, ktoré je určené ako zdroj AE. Ideálnym prípadom je generovanie len veľmi malej AE okolitých prvkov zariadenia.

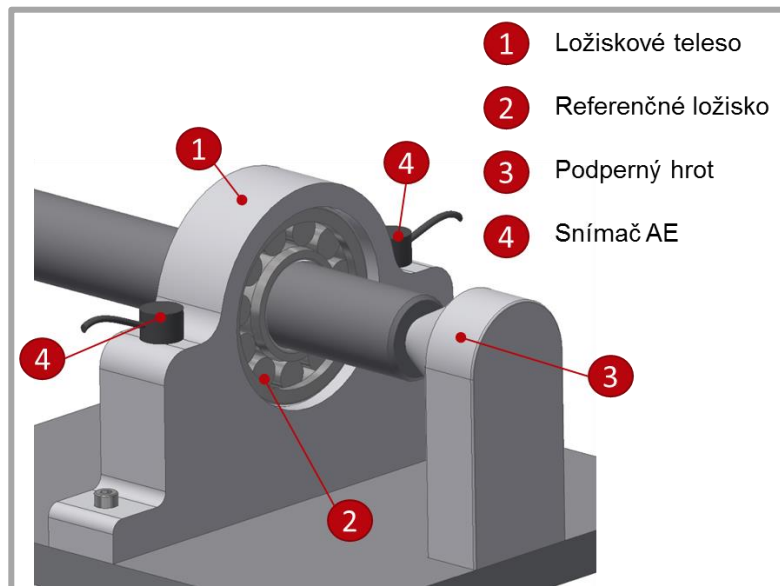
Druhým modelom je varianta s voľným koncom hriadeľa (Obr. 4-5). To zaistuje redukciu okolitého šumu. Jediným rotačným prvkom je pri tejto variante je ložisko, ktoré je zdrojom AE. Táto možnosť však vedie k nutnosti vyšej tuhosti hriadeľa alebo



Obr. 4-5 Model s voľným koncom hriadeľu

k vyšej tuhosti ložiskového domku pre experimentálne ložisko. Nie je vhodné aby pri použití poškodeného experimentálneho ložiska nieslo hmotnosť hriadeľa. Výhodou tejto varianty je jednoduchá montáž a demontáž experimentálnych ložísk.

Tretou variantou je model s použitím podperného hrotu (Obr. 4-5). Ten generuje výrazne slabšie AE z dôvodu absencie valivých prvkov a zaistuje polohu osy rotácie. Podporný hrot však nemôže spĺňať funkciu nosného prvku.

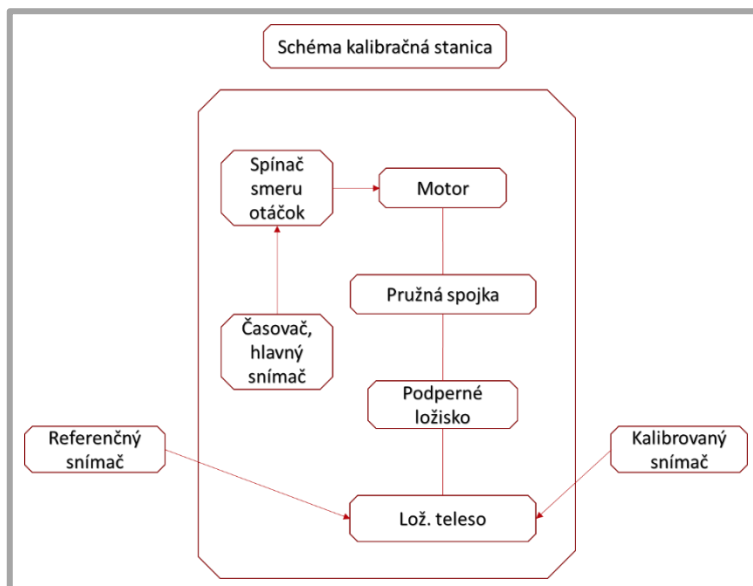


Obr. 4-6 Model s podperným hrotom

4.3.2

### 4.3.2 Favorizované riešenie

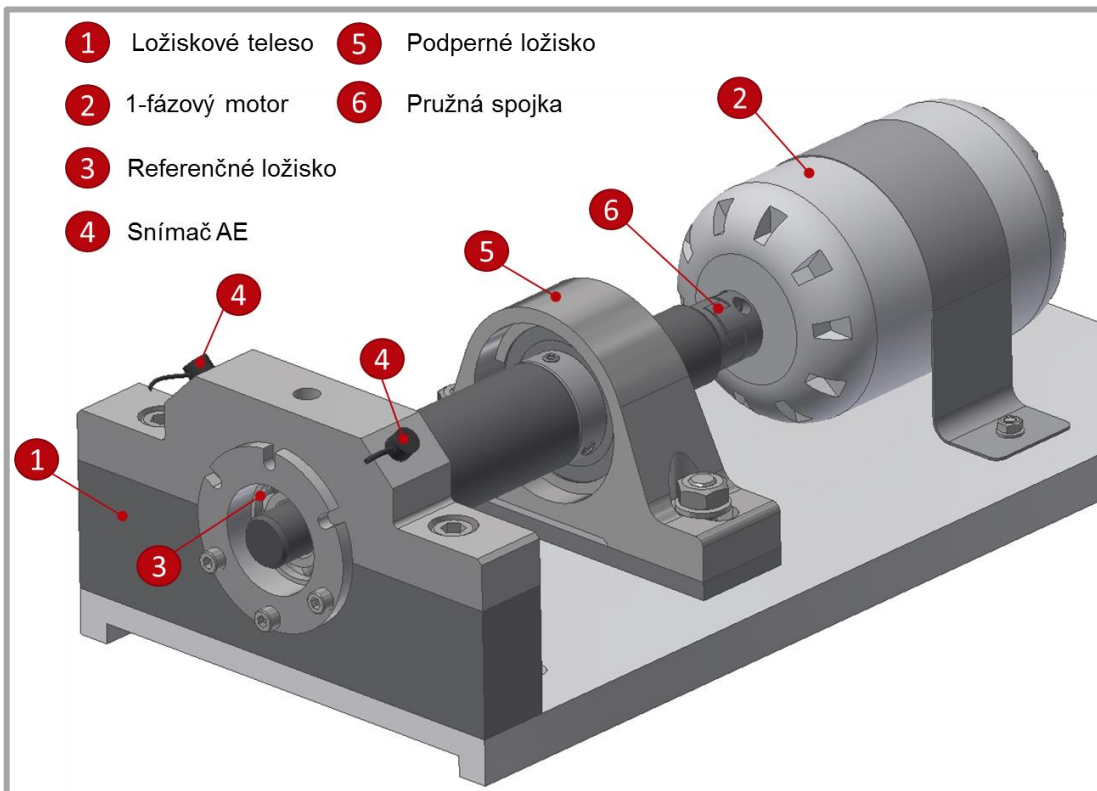
Na základe uvažovaných variant kalibračnej časti zariadenia sa došlo ku zostaveniu favorizovaného riešenia experimentálneho zariadenia (Obr. 4-7). Jedná sa o horizontálne orientovanú osu rotácie, čo umožňuje jednoduchšiu montáž a demontáž



Obr. 4-7 Schéma experimentálneho zariadenia

experimentálnych ložísk ako u koncepcného návrhu č.1. Zariadenie (Obr.4-8) obsahuje podperný ložiskový domek, ktorý slúži ako nosný prvek hriadeľa. Je nutné prihliadať aj k možnému šumu z hľadiska vibrácií, ktorých zdrujom je elektromotor.

Tieto vibrácie boli eliminované použitím pružnej spojky, ktorej pružný člen má schopnosť pohlcovať vibráciu. Toto zariadenie umožňuje využitie poškodených ložísk

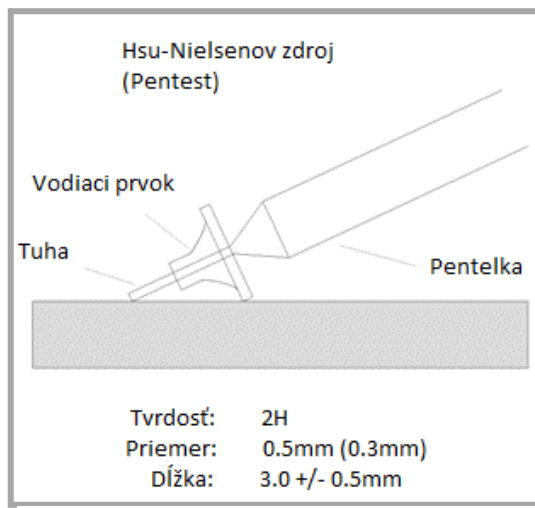


Obr. 4-8 Favorizované riešenie

ako zdroju AE. Elektromotor sa jednofázový motor, ktorého otáčky sú postačujúce pre rozbeh a prevádzku hriadeľa Použil sa taktiež hriadeľ s osadením, umožňujúci upnutie guľkových, valčekových, ale aj ihlových experimentálnych ložísk.

#### 4.4 Hsu-Nielsenov zdroj (Pen-test)

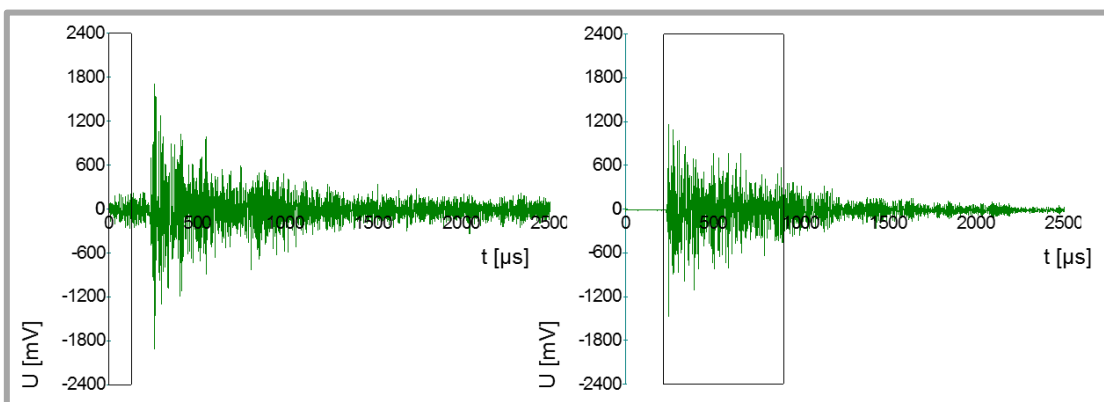
Prvým krokom pri zostavovaní metodiky je určovanie referenčných snímačov. Tým musí byť snímač s najlepšou citlivosťou. Za týmto účelom sme použili tzv. Hsu-Nielsenov zdroj (Pen-test Obr. 4-9), ktorý má presne definovanú udalosť AE. Jedná sa



Obr. 4-9 Hsu-Nieslenov zdroj

o burst, teda prasknutie tuhy. Pen-test slúži ako udalosť AE, s ktorým sa bežne kontroluje lokalizujú defekty a reakcia snímačov AE. V tejto práci sa zistovali potrebné informácie k stanoveniu referenčného snímača pre triedu MDK-13.

Kedže burst je udalosť AE s vysokou odozvou signálu, je vhodné využiť skúšobné telesá kde je zaručená presná odozva signálu. Ideálnym prostriedkom sú telesá



Obr. 4-10 Hity AE získané Hsu- Nielsenovým zdrojom

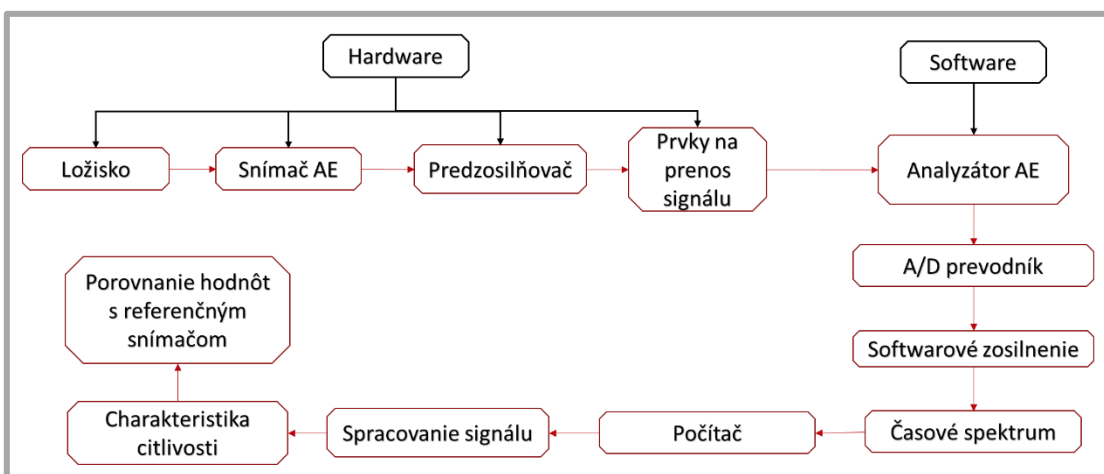
s malou hrúbkou.. Jednalo sa taktiež o zistenie odozvy signálu a základe tohto merania definovať najcitolivejší snímač podľa tejto metódy. Tento experiment sa aplikoval aj na kalibračnú časť zariadenia, pre zistenie odozvy signálu. Avšak pri pentestoch sa signál považuje za nekontinuálny, čo znamená, že udalosť AE má charakter ojedinej elastickej vlny prechádzajúcej telesom. Na obrázku 4-10 sú zobrazené Hity AE. Rozdielom medzi hitom AE a udalosťou AE je v tom, že udalosť AE je fyzikálneho charakteru, hit AE je elektrickou odozvou snímača na danú udalosť.

#### 4.5 Metodika hodnotenia snímačov AE

4.5

Relatívna kalibrácia sa realizuje na základe porovnania zvoleného referenčného snímača so snímačom určeným pre kalibráciu. Pre možnosť čo najpresnejšej kalibrácie a posudzovania snímačov AE potrebujeme overiť chovanie ložísk pri zaťažovaní alebo využiť metódu úmyselne poškodených ložísk.

Typ ložísk sa v experimentálnom zariadení bude meniť na základe metodiky hodnotenia. Tá musí zodpovedať určitému meraciemu reťazcu (Obr. 4-11).



Obr. 4-11 Merací reťazec pre kalibráciu

Merací reťazec obsahuje dve časti. Získanie AE a jej nasledovné vyhodnocovanie. Po sérii meraní sa stanoví úprava vstupných parametrov meracieho zariadenia. Pri zmene týchto parametrov dochádza aj k zmene chovania snímača na danú udalosť AE z hľadiska citlivosti. Týmto spôsobom sa definuje určitá charakteristika, definujúca citlosť daného snímača. Následne bude táto charakteristika porovnaná s charakteristikou referenčného snímača a posúdený jej stav citlivosti. Tak možné sledovať degradačný čas snímačov AE. Hlavným parametrom ovplyvňujúcim citlosť snímačov je softwarové zosilnenie analyzačnej jednotky.

---

### 4.5.1 Systém DAKEL XEDO (Zariadenie pracujúce na countovom princípe zaznamenávania udalostí AE)

Je to univerzálny merací a diagnostický systém [14], ktorý ma široké využitie pri všetkých aplikáciach merania fyzikálnych veličín. Tento systém umožňuje jednoduché pripojenie až niekoľko desiatok meracích modulov k počítaču a tak centrálnie monitorovať stavy meraných objektov. Je taktiež určený pre spracovanie súborov dát pri meraní AE.

Hlavným stavebnými prvkami sú meracie a komunikačné jednotky (karty), ktoré spolu tvoria softwarový merací prvak (box) schopný kombinovať rôzne druhy merania súčasne. Prenos nameraných dát do riadiacej jednotky (počítač) zabezpečuje komunikačná jednotka. V rámci tohto boxu prebieha komunikácia medzi jednotkami po zbernicu, ktorá poskytuje všetkým riadeným jednotkám informáciu o čase (presnosť 1 µs).

#### Jednotka pre vyhodnocovanie parametrov AE

Po pripojení snímača AE umožňuje meranie základných parametrov AE (Max. amplitúda, Risetime, Count, RMS), spracovanie emisných udalostí s možnosťou ich presnej lokalizácie a priame digitálne vzorkovanie emisných signálov (2-8 MHz) [16]. Avšak je nutné zdôrazniť, že jednotlivé kanály týchto jednotiek majú ma určitom čase istý stupeň degradácie, zvýšenú hladinu šumu, čo môže mať za následok, že počiatočná hladina jednotlivých kanálov nebude identická. Pre kalibráciu sa jedná o dôležitý poznatok, ktorý sa musí zohľadňovať.



Obr. 4-12 Systém DAKEL XEDO

Meracie zariadenie (Obr. 4-12) na ÚK, ktoré bolo použité pri meraní je 4 kanálová jednotka, ktorej kanály nemajú jednotnú počiatočnú hladinu. Experimentálnym meraním sa taktiež zistoval vplyv použitých snímačov na počiatočnú hladinu záznamu odozvy.

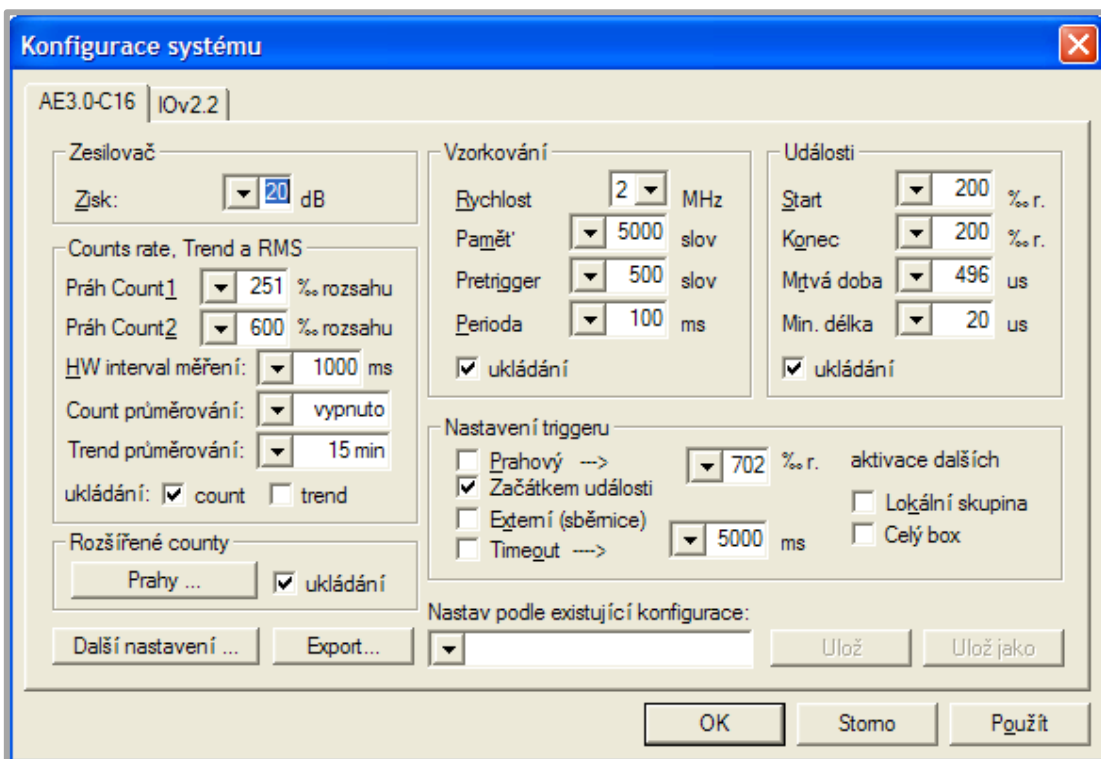
#### 4.5.2 Program Xedo Daemon a Daeshow

4.5.2

Jedná sa o softwarové nástroje systému Dakel Xedo potrebné pre snímanie, vyhodnocovanie a analýzu súborov dát získaných snímačmi AE.

Daemon sa používa na nastavovanie parametrov merania na sledovanie experimentov v reálnom čase. To umožňuje nastavovať parametre merania a prispôsobiť ich potrebám cieľov. Tento program umožňuje rozsiahlu konfiguráciu vstupných parametrov, ktoré sa nastavujú na základe typu meranej udalosti AE. Experimentálna časť tejto práce používala konfiguráciu systému zobrazenú na obr. 4-13. Vzorkovacia frekvencia bola pre kalibráciu nastavená na hodnotu 2 MHz.

Program Daeshow je vyhodnocovací program, ktorý za pomoci FFT transformácie presúva dátá z časového spektra do frekvenčného. Umožňuje tak stanovovanie



Obr. 4-13 Nastavenie konfigurácie systému v programe Daemon

frekvenčných charakteristik odozvy signálu. Umožňuje taktiež náhľad na zaznamenané merania a v neposlednej rade export binárnych dát. Využívaný v tejto práci.

#### 4.5.3 Postup merania

4.5.3

Rotácia ložiska je v oblasti metódy AE (defektoskopie) uvažovaná ako kontinuálny priebeh uvoľňovania energie, ktorý je vyhodnocovaný ako spojité AE. Bolo potrebné stanoviť vyhodnocovací parameter popisujúci priebeh spojitej AE. Touto vlastnosťou sa vyznačuje hodnota RMS (Root mean square) signálu. Jedná sa o aritmetický

priemer prijatej energie za jednotku času snímačom, ktorá je nasledovne prevedená na elektrický signál.

Pri skúškach citlivosti normalizovanou metódou Hsu-nelsonovym zdrojom je možné posudzovať reakciu snímača na burst, avšak nedá sa sledovať hodnota prijatej energie, keďže sa pri burstu jedná o nespojité AE.

Pri postup meraní sa bral ohľad na niekoľko najpodstatnejších princípov.

1. Umiestnenie snímača
2. Druh poškodenia ložiska
3. Prítomnosť väzbového média
4. Smer rotácie ložiska
5. Časová skúška

### Umiestnenie snímača

Ked'že AE nie je snímaná z povrchu ložiska, je meranie ovplyvnené pozíciou snímača. Cieľom bolo určiť empirickým spôsobom také miesto, na kalibračnom telese, ktoré by snímalo ideálnu hodnotu parametru RMS.

### Druh poškodenia ložiska

Metoda AE je natoľko citlivá, že je schopná rozpoznávať aj veľmi malé poškodenia na meranom telese a preto sa rozhodlo pre kalibráciu použiť ložiská s určitým druhom defektu. Toto poškodenie nebolo vytvorené prirodzene, ale úmyselným poškodením vybranej časti ložiska z dôvodu stanovenia presnej odozvy signálu na daný typ poškodenia.

### Prítomnosť väzbového média

Väzbové médium spoľahlivo zaist'uje prenos elastickej vlny z povrchu telesa k snímaču. Je dôležitým prvkom, ktorý značne zvyšuje efektivitu metódy AE. Je však možné, že na kalibráciu vybraných magnetických snímačov nebude potrebné jej využitie. Preto sa experimentálne overovala možnosť kalibrácie „na sucho“.

### Smer rotácie ložiska

Elastické vlny sa pri rotácii ložiska šíria po celom objeme. Predpokladá sa, že pri otáčaní ložiska je šírenie ovplyvnené zmyslom rotácie. Konkrétnie smerom pohybu valivých elementov, umiestnených v klietke ložiska.

### Časová skúška

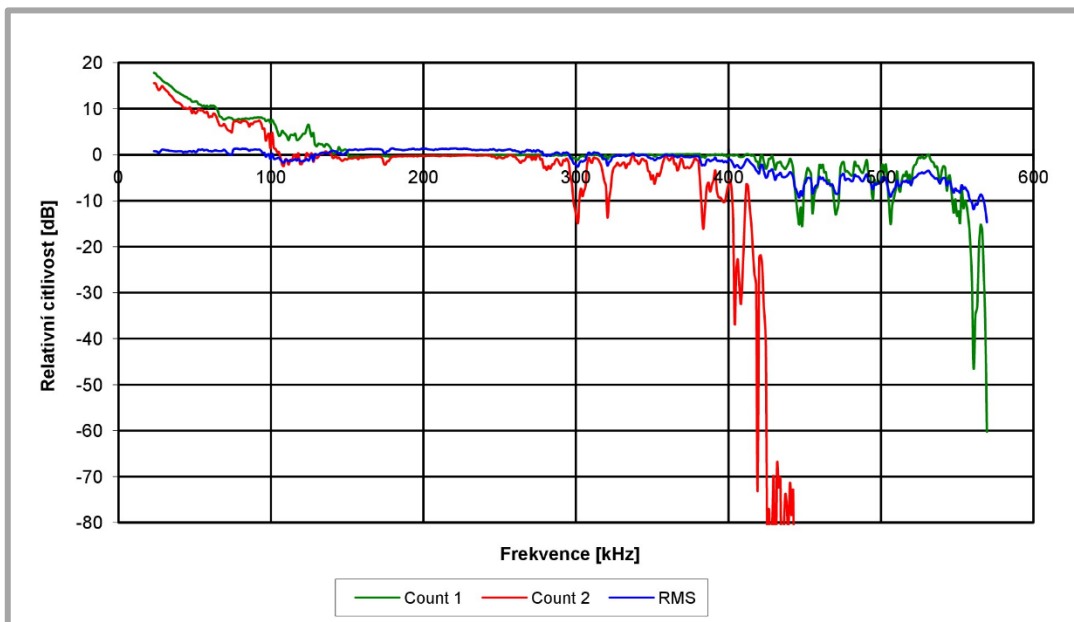
Jedná sa o experimentálne určenie vplyvu času na prijatú energiu a teda na hodnotu RMS. Pri čase určeným pre kalibráciu sa nesmie prijatá energia samovoľne meniť. Preto sa skúšky budú realizovať pri 2 a 5 minútovom sledovaní RMS.

---

#### 4.5.4 Vyhodnocovací postup

Bol zostavený na základe čo najefektívnejšieho vyhodnocovania nameraných dát. V programe DaeShow vytvorený firmou Dakel, je možný export binárnych dát do textových editorov. S týchto editorov boli následne dáta prevedené a separované do vyhodnocovacieho programu MS Excel.

Podľa kalibračných protokolov firmy Dakel snímača MDK-13 by malo pri vyšej frekvencii ako 400 kHz dochádzať k mierнемu poklesu citlivosti a teda aj k poklesu prijatej energie snímacom a signálu RMS (Obr. 4-14).



Obr. 4-14 Príklad frekvenčnej charakteristiky typu MDK-13

#### 4.5.5 Použité softwarové zosilnenie

Zmena hodnoty RMS sa menila na základe zmeny poškodeného ložiska. V závislosti na type poškodenia sa výsledná RMS zvyšovala resp. zmenšovala.

4.5.5

Ked'že hlavným konfiguračným parametrom ovplyvňujúcim citlivosť snímačov je softwarové zosilnenie, prebiehali experimenty pri zmene tohto parametru.

V základných experimentoch boli použité softwarové zosilnenia 0, 5, 10, 15, 20 dB.

#### 4.5.6 Použité ložiska

4.5.6

Zariadenie umožňuje upnutie 3 typov snímačov. Pre potreby experimentu boli vybrane 4 ložiská rovnakého typu s označením 6204, ktorých rozdielnosť odozvy signálu bola zaručená určitým typom poškodenia.

Prvým použitým ložiskom bolo ložisko s poškodenou klietkou, ktorá sa mechanicky porušila.

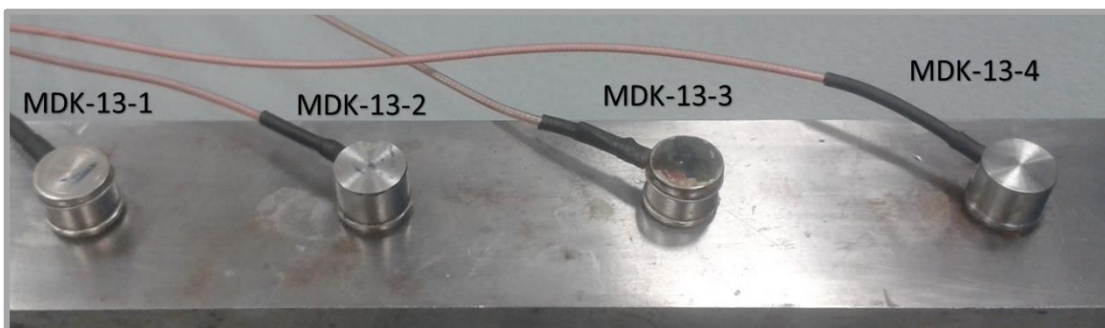
Druhým typom poškodenia bol úmyselné vytvorený pitting na vonkajšom krúžku ložiska. Ten vznikol vyiskrením ryhy na vnútorej strane vonkajšieho krúžku kolmej k smeru valenia valivých elementov ložiska.

Tretím typom bolo ložisko s poškodením vnútorného krúžku. Vzniklo rovnakým spôsobom ako ložisko s poškodením vonkajšieho krúžku. Rozdiel medzi týmito poškodeniami je, že poškodenie vnútorného krúžku, teda krúžku ktorý rotuje, generuje väčšie AE. Dôvodom je, že pri rotácii vnútorného krúžku a valení elementov dochádza k častejšiemu stretu pittingu s elementmi. To je taktiež dôvod vyšej úrovne hluku tohto ložiska. Pri experimentoch bola na základe generovania AE týmto ložiskom zaznamenaná najvyššia hodnota RMS, takže to poškodenie bolo najväčšie.

Štvrtým ložiskom je funkčné a nepoškodené ložisko. Boli zistované hodnoty RMS, ktorých dosahuje generované ložisko bez poškodenia.

### 4.5.7 Použité snímače

Jedná sa o magnetické snímače firmy Dakel s označením MDK-13, ktoré obsahujú interný predzosilovač so zosilnením cca 35 dB [19]. Ich rezonančná frekvencia sa



Obr. 4-15 Snímače použité pri kalibrácii

pohybuje v rozmedzí 200-250 kHz, avšak jedná sa o širokopásme snímače AE, ktorých rezonančná frekvencia je potlačená zatlmením. Kontaktná plocha snímačov je 13 mm. Tieto snímače sa používajú pri diagnostike valivých ložísk na Ústave konstruování.

## 5 VÝSLEDKY

Táto kapitola je venovaná výsledkom dosiahnutých v tejto diplomovej práci. Kapitola pojednáva o výslednom návrhu experimentálneho zariadenia, jeho zostavení a rozpisu prvkov zariadenia. Experimentálna časť tejto práce sa zaoberá sériou základných meraní následne popisu vyhodnocovacieho postupu, zostavením charakteristík citlivosti snímačov používaných pri experimentoch. Posledná časť je venovaná návrhu metódy kalibrovania snímačov zo pomocí experimentálneho zariadenia.

### 5.1 Konštrukčná časť

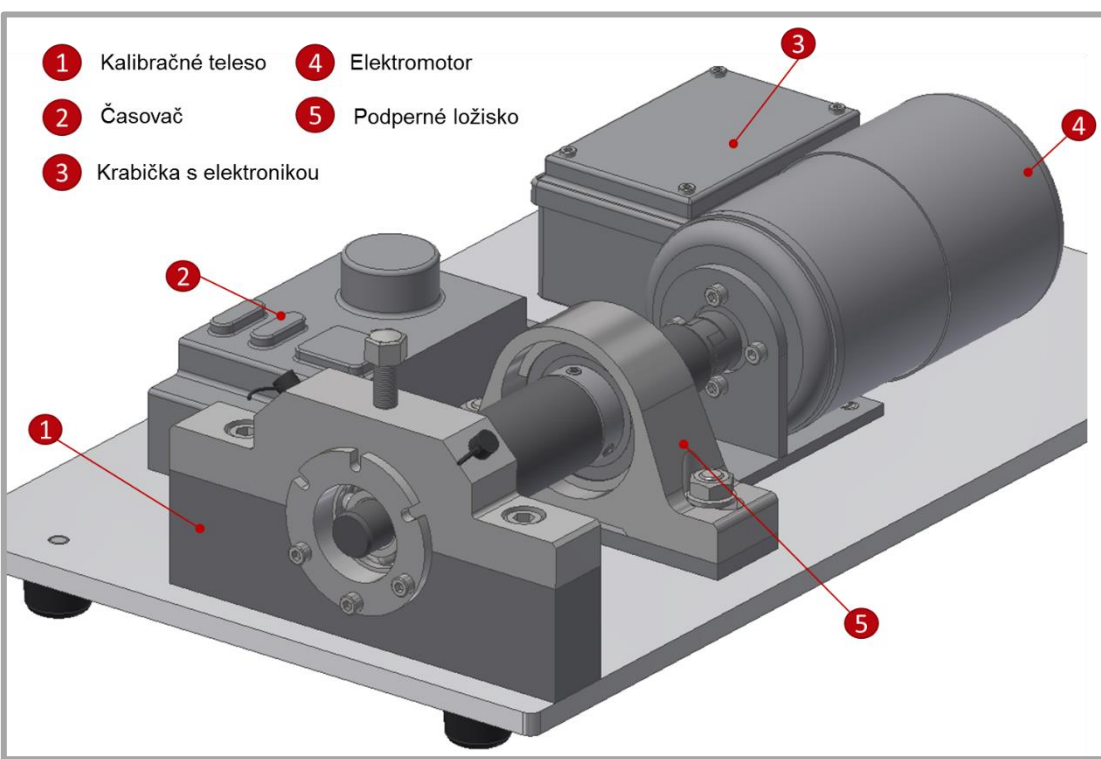
Táto časť sa zaoberá zostavovaním experimentálneho zariadenia a odôvodnením použitia jednotlivých komponentov.

5.1

### 5.2 Favorizovaný návrh

Ako favorizované riešenie bol zvolený koncepčný návrh č. 2. Hlavným dôvodom boli nízke náklady na výrobu, jednoduchosť konštrukcie a v neposlednej rade funkčnosť. Taktiež zodpovedá požiadavku prenosného zariadenia. Návrh experimentálneho zariadenia je prispôsobený trom typom ložísk (guľkové 6204, valčekové NU204 a ihlové NK 25/22). Guľkové a valčekové ložiska je možné uložiť na priemer  $d = 20$  mm (Obr. 5-1), čo je štandardné umiestnenie kalibračného telesa. Zariadenie umožňuje

5.2

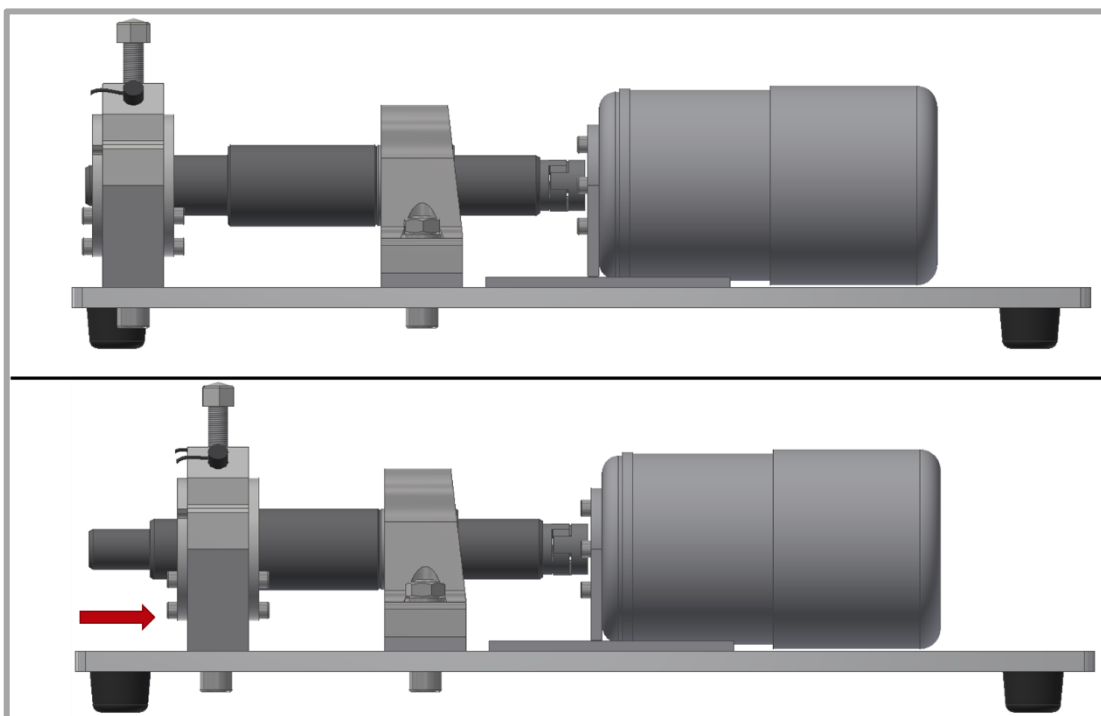


Obr. 5-1 3D model experimentálneho zariadenia

taktiež tieto ložiska radiálne zaťažovať. Toto zaťažovanie je realizované jednoduchým spôsobom za použitia závitovej skrutky. Za pomocí momentového kľúča je možné vysadiť na referenčné ložisko tlak i v priebehu merania a zvýšiť tak hodnoty RMS.

Tým je možné pozorovať reakciu snímačov AE na zmenu RMS počas experimentov a meniť tak hodnotu prijatej energie snímačmi.

Pre upnutie ihličkových ložísk je nutné umiestniť kalibračné teleso na väčšie osadenie hriadeľa d=25mm (Obr. 5-2).



Obr. 5-2 Posunutie kalibračnej časti pre možnosť uloženia ihličkových ložísk

Dôležitú úlohu má väzobné médium, ktoré sa bude aplikovať do kontaktu ložiskohniezdo a hniezdo-snímač. Vo väčšine prípadov sa ako väzobné prostredie používa technická vazelína. Vazelína však musí byť nanášaná len v určitom množstve (50-100 $\mu$ m). Pri nanesení väčšieho množstva väzbového média dochádza ku nežiadúcej strate AE.

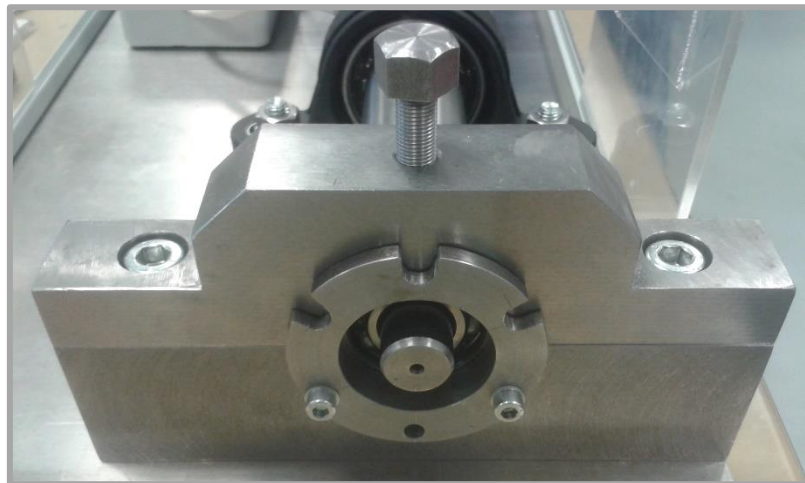
Zariadenie musí byť taktiež opatrené tlmiacimi prvkami. Vibrácie z elektromotoru by mohli negatívne ovplyvňovať hodnoty RMS, čo bude mať za následok komplikácie pri základných experimentoch.

### 5.3 Kalibračné teleso

Jedná sa prvak experimentálneho zariadenia, ktorý je hotovený tak, aby na jeho povrch bolo možné umiestniť snímače AE, ktorých kontaktná plocha dosahuje 17 mm. Do Kalibračného telesa (Obr. 5-3) sa umiestňuje referenčné ložisko, ktoré slúži ako hlavný zdroj AE pre relatívnu kalibráciu snímačov AE. Je nutné, aby kalibračné teleso bolo symetrické z hľadiska plynulého šírenia elastických vĺn a taktiež z požiadavku rovnakej vzdialenosť od zdroja pri relatívnej kalibrácii [4].

Ako základný materiál bola zvolená ocel S335 (11 600). Kalibračné teleso sa skladá z dvoch častí, pre rýchlu výmenu referenčných ložísk.

Kontakt ložisko-kalibračné teleso-snímač zaručuje prenos elastických vĺn od zdroja AE až k snímaču. Kontakt snímača s povrchom má veľmi dôležitý vplyv na výsledný elektrický signál . Preto je dosadací povrch pre snímače. brúsený na drsnosť Ra 3,2.



Obr. 5-3 Kalibračné teleso

Za pôsobenia interného magnetu kalibrovaných snímačov a adhézie väzbového média je prenos AE zaručený.

Snímače je možné umiestniť prakticky na akékoľvek miesto na teleso. Pre základné experimenty však boli zvolené úkosy (Obr.5-4), ktorých povrch je vo vzdialosti



Obr. 5-4 Umiestnenie snímačov na experimentálne zariadenie

50mm od osy rotácie ložiska. Kalibračné teleso umožňuje jednoduché upnutie na podstavu zariadenia.

### 5.4 Vlastnosti použitého elektromotora

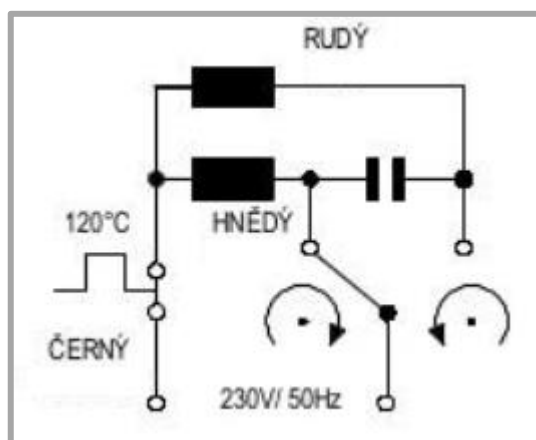
5.4

---

Ako pohon pre experimentálne zariadenie bol zvolený elektromotor s označením J22RX. Jedná sa o prírubový jednofázový asynchronný motor s pomocnou fázou, ktorý má výkon 180 W a otáčky  $2850 \text{ ot/min}^{-1}$  na výstupe [16] s využitím napájania

zo siete 230 V. To umožňuje použitie zariadenia v priestoroch, kde nie je možný prístup k vyššiemu napätiu.

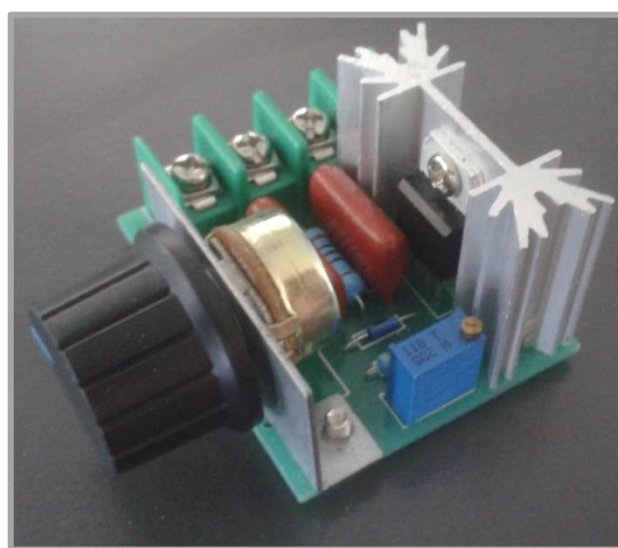
Vďaka zapojenému kondenzátoru (Obr. 5-5) je elektromotor schopný otáčania v pravom aj v ľavom zmysle rotácie. Do zapojenia elektromotora bola taktiež začlenená prepäťová poistka, ktorá zabráni prechodu väčšieho napäcia do elektromotora. Zapojenie elektromotoru je zakrytované konštrukčnou krabičkou GEWISS. Regulácia zmyslu otáčania je zaistená trojpolohovým spínačom.



Obr. 5-5 Schéma zapojenia elektromotoru [16]

### 5.4.1 Regulácia otáčok

V konštrukčnej časti práce sa zaoberala aj otázkou možnosti regulácie otáčok. Táto otázka sa riešila za pomoci regulátora otáčok (Obr. 5-6), ktorý je schopný regulovať otáčky na základe zmeny napäcia potenciometrom. Jedná sa o zariadenie používané najčastejšie na reguláciu otáčok elektromotorov s nižšími výkonomi [15]. Z dôvodu



Obr. 5-6 Regulátor otáčok pre elektromotory menších výkonov

veľmi nízkych nákladov na tento produkt bolo zvážené jeho použitie pre reguláciu otáčok použitého elektromotora. Regulátor umožňuje regulovať napätie od 100%

účinnosti po 15% pri napäti 230 V a do výkonu až 20kW. Od tohto spôsobu sa však upustilo. Dôvodom bolo, že pri najnižšej prieplastnosti napäťia (15%) dochádzalo k zastavovaniu motora pôsobením trenia v ložiskách a taktiež nutnosť neustáleho monitorovania rýchlosťi rotácie snímačom otáčok.

Ďalším spôsobom bola regulácia za pomocí frekvenčného meniča, ktorý by zaistoval reguláciu otáčok prostredníctvom zmeny frekvencie. Bolo nutné použitie meniča, ktorý umožňuje zmenu frekvencie pre elektromotory s výkonom 0,18kW. Od tejto varianty sa však taktiež upustilo, z dôvodu vysokej ceny frekvenčného meniču, ktorá nie je priamo úmerná nutnosti manipulácie otáčok pri kalibračných testoch.

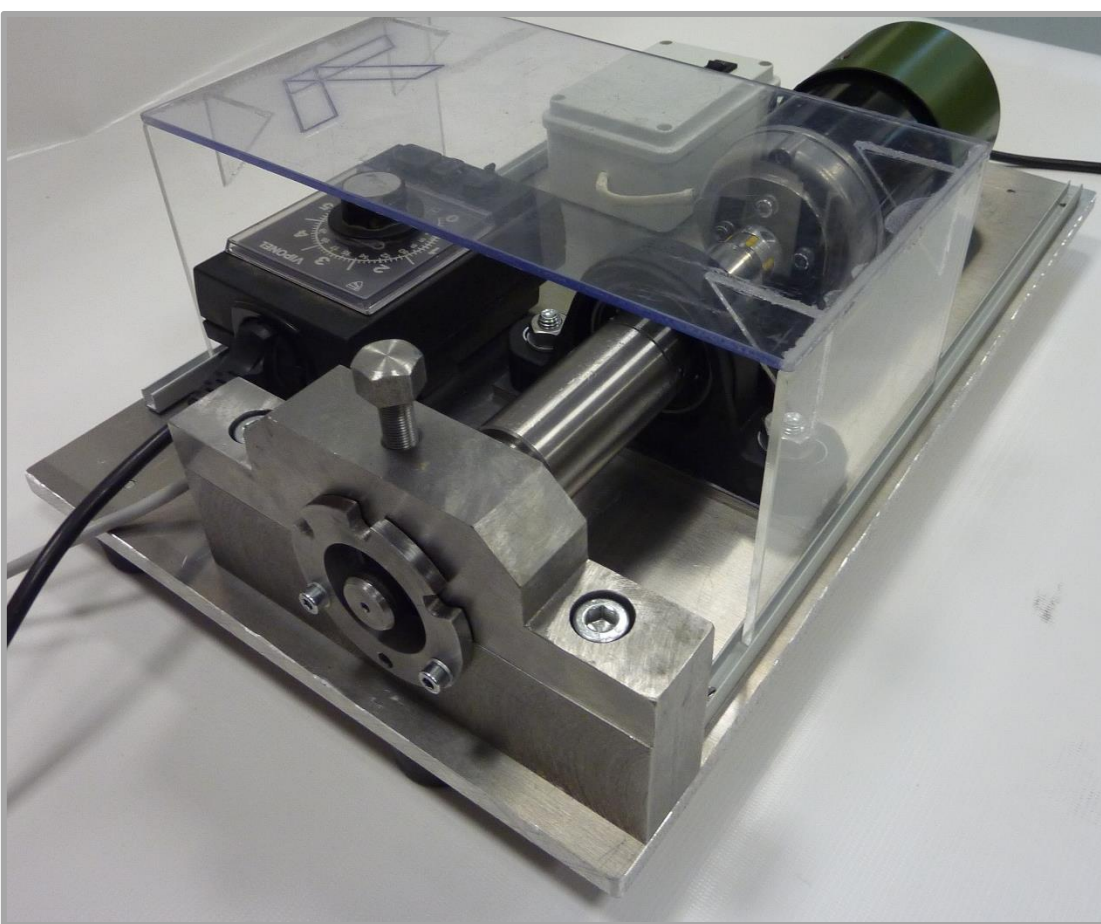
Výsledkom bolo, že sa od regulácie otáčok upustilo a experimentálna časť bola realizovaná pri konštantných otáčkach elektromotoru (2850 ot/min).

### 5.5 Zostavenie experimentálneho zariadenia

5.5

---

Pre relatívnu kalibráciu bolo zostavené experimentálne zariadenie, ktorého konštrukcia bola inšpirovaná podľa zariadenia na skúšky trvanlivosti poškodených ložísk [10]. Experimentálne zariadenie (Obr. 5-7, Obr. 5-8), okrem kalibračného telesa



Obr. 5-7 Zostavený prototyp experimentálneho zariadenia

a elektromotoru, obsahuje tiež nosný ložiskový domček, ktorý vycentroval hriadeľ, zaistuje súosú polohu medzi kalibračným telesom (referenčným ložiskom) a elektromotorom. Jedná sa o nosný prvk, ktorý by v prípade zničenia referenčného

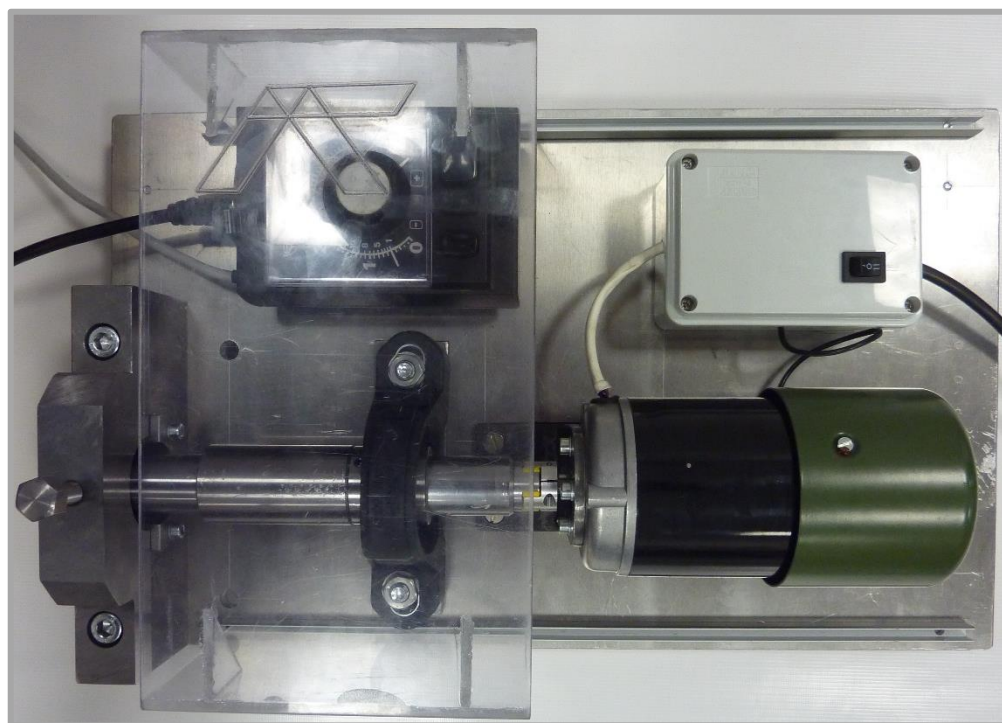
ložiska niesol hmotnosť hriadeľa. Pri experimentoch s prevádzkou poškodeným ložiskom, kde sa toto ložisko použilo ako referenčné nastala havária a došlo k rozpadu ložiska z dôvodu veľkého rozsahu poškodenia. Ložiskový domček udržal hmotnosť hriadeľa a nenastalo tak poškodenie elektromotora.

Ložiskový domček bol opatrený kryptovaním priestoru s ložiskovými elementmi z dôvodu prítomnosti tuhého maziva. Toto mazivo pri experimentoch zapríčňovalo veľmi rýchly nárast teploty hriadeľa. Aby sa zabránilo zvyšovaniu teploty hriadeľa, bolo nutné odstrániť tuhé mazivo, vrátanie kryptovania priestoru s ložiskovými elementmi, ktoré muselo byť pri odstraňovaní maziva mechanicky poškodené.

Spoj medzi hriadeľom a motorom zaistuje pružná spojka EK7 [17], ktorá pohlcuje silné vibrácie, produkované elektromotorom. Je schopná aj minimálneho axiálneho vyosenia. Táto spojka má zo strany hriadeľa rozperný kužeľ, ktorý sa umiestňuje do vyvŕtaného otvoru v hriadeli. Následne sa začne dotahovať skrutka vedená v ose spojky, tým začne rozperný kužeľ rozťahovať rozpernú časť spojky až kým sa nevytvorí svorný spoj medzi hriadeľom a spojkou. Zo strany hriadeľa je spoj riešený nábojom a dotahovanou skrutkovou. Tá pri dotiahnutí tvorí svorný spoj medzi hriadeľom a spojkou.

Elektromotor je prichytený k hliníkovej podstave pomocou prírubi. Príruba je podložená gumovými podložkami, ktoré zabraňujú prenosu nežiadúcich vibrácií z elektromotora cez príruba a hliníkovú podstavu.

Zariadenie je opatrené krytovaním. Jedná sa o lepený plexisklový kryt, ktorý slúži k zamedzeniu kontaktu obsluhy s rotujúcimi časťami zariadenia. Kryt bol umiestnený



Obr. 5-8 Prototyp experimentálneho zariadenia

Kalibračné experimenty boli realizované v krátkych časových intervaloch a vzorkovacia frekvencia bola nastavená na 2 MHz. Pre možnosť jednoduchšieho spracovania signálu je vhodné mať presný časový úsek merania. Pre túto aplikáciu bol

použitý časovač, ktorý pri dosiahnutí nastaveného času zastavil prívod napäťa do elektromotora. Časovač je na zariadení umiestnený volne

V poslednej rade bolo experimentálne zariadenie opatrené gumový dorazmi umiestnenými na spodnej strane hliníkovej podstavy. Účelom je tlmiť prenos výbrácií do predmetu, na ktorom je zariadenie umiestnené.

Toto prenosné experimentálne zariadenie je naplno funkčné a schopné prevádzky.

### 5.6 Experimentálna časť

5.6

Táto časť diplomovej práce popisuje postup meraní a experimentov, ktoré bolo nutné realizovať pre vznik charakterísk citlivosti vybraných snímačov typu MDK-13 a nasledovného návrhu metódy kalibrácie.

### 5.7 Metodika hodnotenia snímačov AE

5.7

V kapitole 4.5, ktorej obsah je venovaný metodike hodnotenia, je poukázané na vyhodnocovanie AE snímačov pri relatívnej kalibrácii. Keďže relatívna kalibrácia je zameraná na porovnávanie jednotlivých snímačov medzi sebou alebo porovnávanie referenčného snímača so snímačom kalibrovaným je nevyhnutne nutné stanoviť určitý postup vyhodnocovania a spracovania nameraných dát.

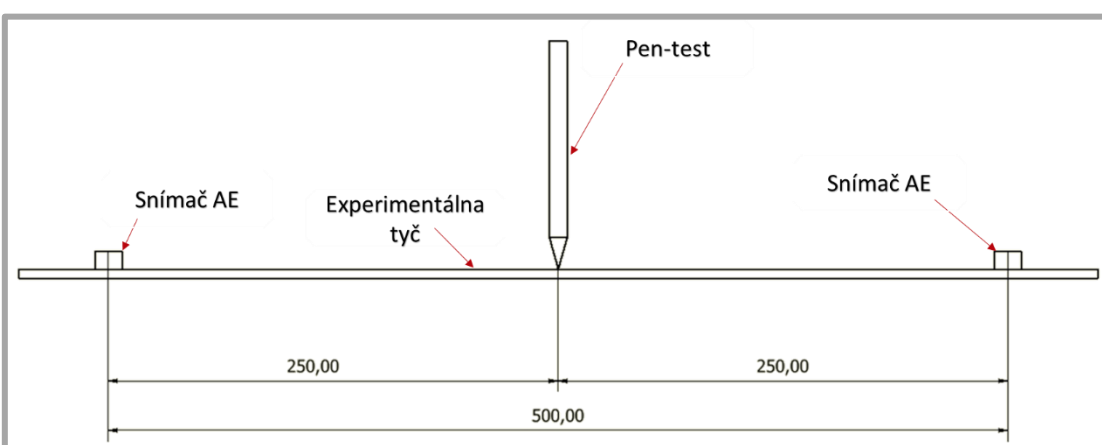
Boli vybrané 4 snímače rovnakého typu každé s inou dĺžkou prevádzky. V dôsledku rôznej doby prevádzky má každý snímač rozdielnú odozvu signálu na generovanú AE.

#### 5.7.1 Volba referenčného snímača Pentestom

5.7.1

Prvým krokom bolo overenie citlivosti normalizovaným spôsobom a na základe experimentu predbežne stanoviť referenčný snímač.

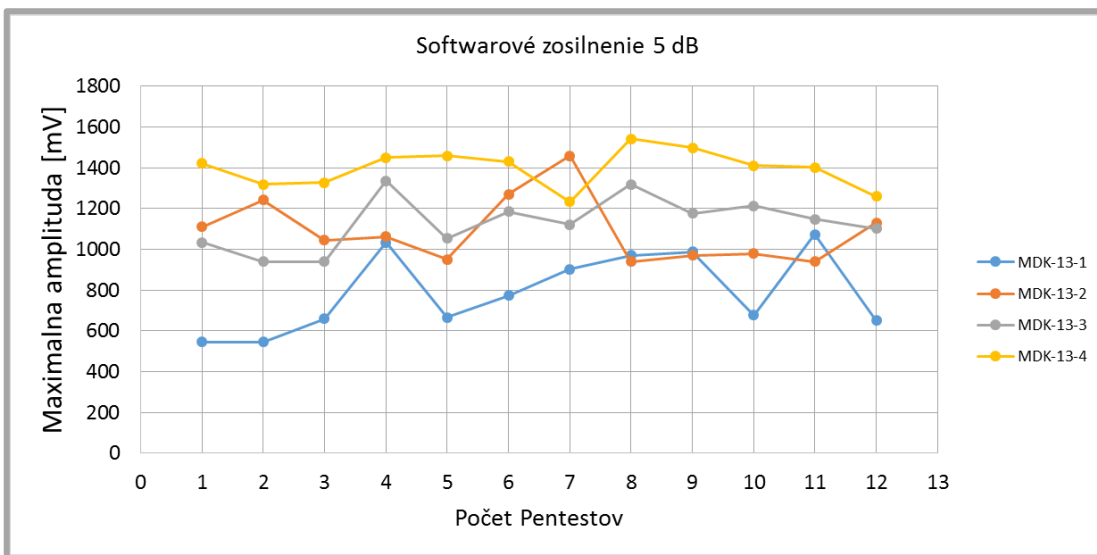
Pri experimente bola použitá plochá tyč 50x5-600 (Obr.5-9), na ktorú sa vo vzdialosti 250 mm od zdroja AE (Pentest) umiestnili snímače AE. Po sérii pentestov sa namerané hodnoty vyhodnocovali. Klúčovým parametrom pritom bola maximálna



amplitúda (mV) odozvy signálu na burst a risetime (čas, za ktorý hit AE dosiahne maximálnej hodnoty), uvádzaný v  $\mu$ s.

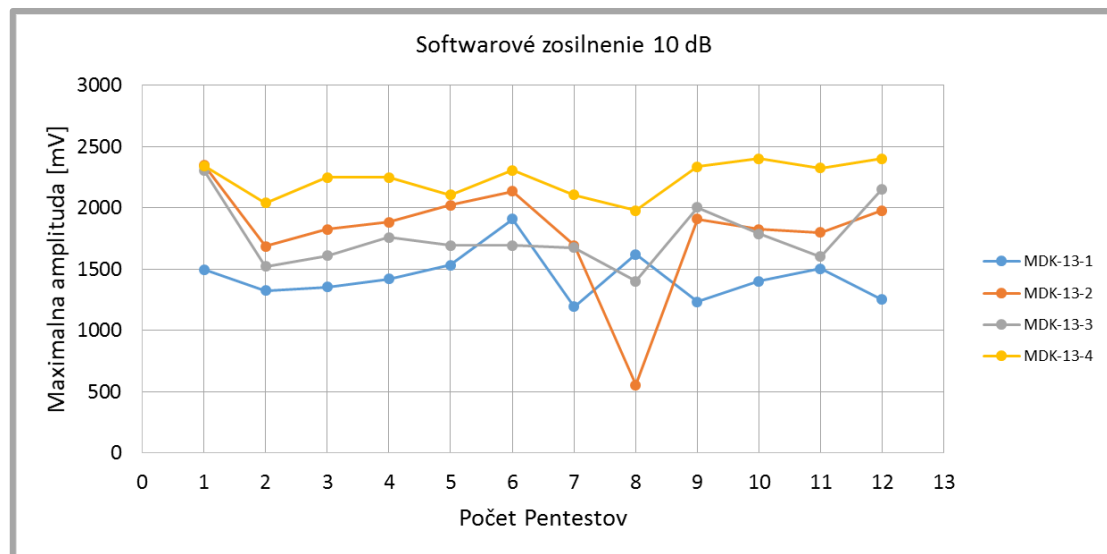
Experiment bol zameraný na softwarové zosilnenia, pri ktorých je zreteľná odlišnosť sledovaných hodnôt.

Na obr. 5-10 je zobrazený graf priebehu merania pri softwarovom zosilnení 5 dB. Pri tomto zosilnení snímač s označením MDK-13-4 dosahoval u väčšiny pentestov najväčšej citlivosti kde najvyššia hodnota max. amplitúdy dosahuje 1543 mV a najnižšia 1260 mV. Podľa výsledkov pentestov ďalej konštatujeme, že snímače MDK-13-2 a MDK-13-3 majú podobnú citlivosť. U MDK-13-2 sa hodnoty pohybujú v rozmedzí 941-1459 mV. Hodnoty u snímača MDK-13-3 boli namerané v rozsahu 941-1318 mV. Najnižších hodnôt dosahuje snímač MDK-13-1 v rozsahu 545-1073 mV.



Obr. 5-10 Maximálne amplitúdy pre zosilnenie 5 dB (Pentest)

Obr. 5-11 zobrazuje výsledky pentestov dosiahnuté pri softwarovom zosilnení 10 dB. Z výsledkov vyplýva, že snímač MDK-13-4, pri určitých pentestoch dosahuje maximálnej hranice amplitúdy analyzátoru, a to 2 400 mV. U snímača MDK-13-1 je pozorovaná radovo nižšia hodnota max. amplitúdy pri porovnaní s hodnotami snímača



Obr. 5-11 Maximálne amplitúdy pre zosilnenie 10 dB (pentest)

MDK-13-4. U niektorých pentestov je rozdiel až 1000 mV. Snímač MDK-13-2 pri

tomto zosilnení javí lepšiu citlivosť ako snímač MDK-13-3. Pri zrovnaní „neuletených“ hodnôt činí rozdiel amplitúd 150-400 mV.

Na základe tohto experimentu usudzujeme, že snímač s označením MDK-13-4 má pre nespojité udalosť AE z vybraných snímačov najvyššiu citlivosť.

Je však nutné na základe experimentu poznamenať, že pentest je nespolahlivou metódou pri určovaní citlivosti snímačov. Existuje vysoká pravdepodobnosť, že meranie bude ovplyvnené chybou ľudského faktoru. Ten môže ovplyvniť uhol lomu, dĺžku lomeného grafitu atď. Pentest je vhodné využívať najmä pri lokalizácii defektov, nie je však vhodný pre kalibráciu snímačov.

## 5.8 Vyhodnotenie výsledkov testovania kalibračnej metódy s väzbovým médiom

5.8

Táto kapitola pojednáva o výsledkoch z kalibračných testov realizovaných na zostavenom experimentálnom zariadení. Jednalo sa o experimenty, pri ktorých bola monitorovaná hodnota RMS signálu. Pozoroval sa aj vplyv zmyslu rotácie a dĺžky merania. Výsledky však primárne vychádzajú z 2 minútových meraní pri pravom zmysle otáčania.

Použité ložiská umožnili zmenu RMS na základe druhu ich defektu. Najväčší defekt bol predpokladaný u ložiska s poškodenou klietkou, avšak pri experimentoch sa zistilo, že najvyšších hodnôt RMS dosahuje ložisko s poškodeným vnútorným krúžkom. Tabuľka 1 zobrazuje skratky jednotlivých ložísk použitých pri meraní.

Tab. 1 Skratky popisov ložísk

Poškodenie ložiska	Anglický názov	Skratka
Nepoškodené ložisko	Non-damage bearing	NB
Poškodená klietka	Damage cage	DC
Poškodený vonkajší krúžok	Damage of outer circuit	DOC
Poškodený vnútorný krúžok	Damage of inner circuit	DIC

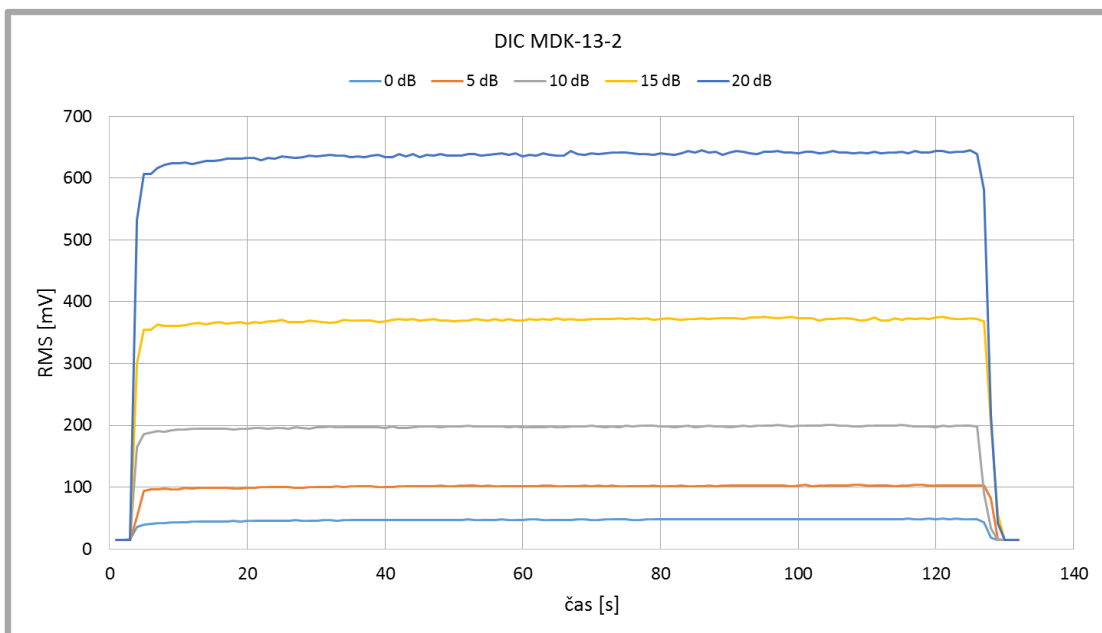
Merania sa realizovali dvojím spôsobom. Prvý spôsob bol, že sa umiestnili na kalibračné teleso vždy dva snímače a po zaznamenaní výsledkov a dokončení experimentu s daným ložiskom sa obidva snímače zamenili za ďalšie. Druhým spôsobom bolo, že referenčný snímač bol trvalo umiestnený na kalibračnom telese a kalibrované snímače sa menili.

Merania boli realizované v 2 a 5 minútových intervaloch, vždy pre dané zosilnenie. Pri každom zosilnení sa odpočítal čas 2 a 5 minút. Pre presné meranie času sa používal časovač, ktorý zaručil rovnaký počet nameraných dát a po odpočte času zastavil experiment. Následne boli namerané hodnoty spracované.

### 5.8.1 Spôsob spracovania signálu

5.8.1

Obr. 8-11 zobrazuje príklad nameraných dát. Jedná sa o priebeh 2 minútových experimentov pre snímač s označením MDK-13-2. Ako referenčné ložisko bolo použité ložisko s poškodeným vnútorným krúžkom. Je možné pozorovať zmenu zosilnenia 0-20 dB. Obr. 5-12 obsahuje taktiež zobrazený začiatok a koniec merania s nulovou hladinou (hladina šumu) a hodnoty nábehu na určitú hodnotu RMS signálu.



Obr. 5-12 Príklad grafu nameraných hodnôt v časovom spektre

Z týchto dát sa ďalej realizoval výber intervalu v rozsahu 110s, aby sa eliminovali hodnoty RMS pri rozbehu a dobehu ložiska, ktoré sa líšia v závislosti od zosilnenia.

### 5.8.2 Nulová hladina komunikačných kanálov (Vplyv hladiny šumu)

Ako bolo spomenuté v kapitole 4.5.1 nulová hladina (hladina šumu) je závislá na komunikačnom kanály, ktorého hodnota sa v závislosti na čase mení vplyvom degradácie. Analyzátor AE Dakel Xedo používaný v tejto práci vykazuje na každom kanále odlišné hodnoty hladiny šumu. Preto bol do vyhodnocovacieho postupu včlenený aj odpočet hladiny šumu jednotlivých kanálov. Hladina šumu je ovplyvnená dĺžkou kálov snímačov, ktorá je rozdielna. Dĺžka však ovplyvňuje hladinu šumu minimálne (2-3 mV)

Pri profesionálnych kalibráciách sa bude používať analytické zariadenie, ktoré bude obsahovať komunikačné kanály s rovnakou nulovou hladinou.

Tab. 2 Počiatočná hladina komunikačných kanálov použitého analýzátora Dakel Xedo

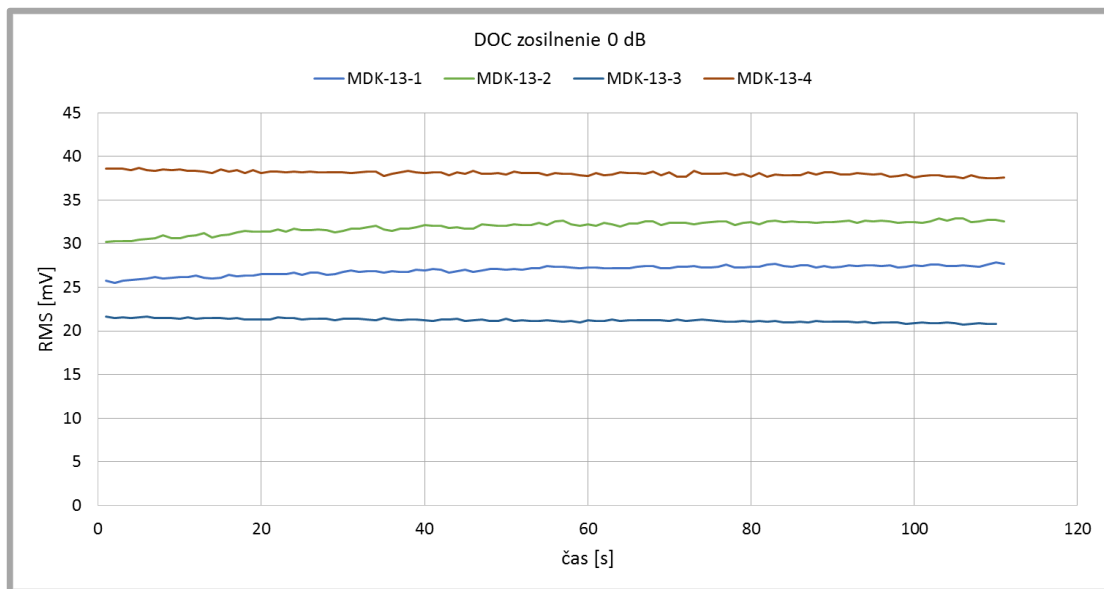
Číslo kanálu	RMS nulovej hladiny [mV]	Tolerancia [mV]
1.	14,2	± 0,5
2.	32,4	± 0,7
3.	27,7	± 0,7
4.	54,2	± 1

### 5.8.3 Experimenty so softwarovým zosilnením 0 dB

Pretože snímače typu MDK-13 majú interný predzosilňovač signálu, ktorý poskytuje zosilnenie cca 35 dB, bolo pozorovaná odozva signálu pri nulovom zosilnení. Na obr. 5-13 je zobrazený priebeh experimentu s poškodením vonkajšieho krúžku pri zosilnení 0 dB za jednotku času 2 minút a pravom zmysle otáčania.

## VÝSLEDKY

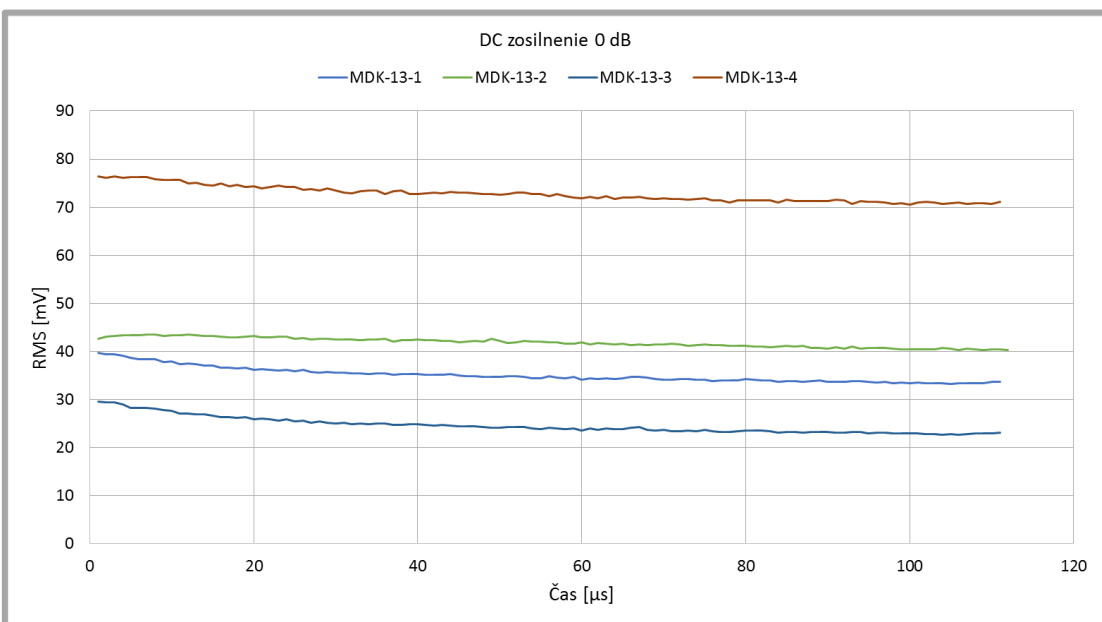
Z výsledkov je možné posudzovať chovanie snímačov, z ktorých sa ako najcitlivejší javí snímač MDK-13-4,. Ten pri tomto poškodení dosahuje priemernú hodnotu RMS 38 mV a snímač MDK-13-3 zase ako najmenej citlivý a hodnotou RMS 21 mV. Avšak



Obr. 5-13 Hodnoty RMS v závislosti na čase pri meraní s 0 dB zosilnením a ložiskom s poškodeným vonkajším krúžkom

rozdiel RMS všetkých snímačov je v intervale 20-40 mV, čo sa považuje za nízky rozdiel odozvy signálu.

Na obr. 5-14 je priebeh merania s použitím ložiska s poškodenou klietkou ako zdroju AE pri nulovom zosilnení. Boli zaznamenané vyššie hodnoty RMS na základe rozsahu poškodenia.



Obr. 8-14 Hodnoty RMS v závislosti na čase pri meraní s 0 dB zosilnením a ložiskom s poškodenou klietkou

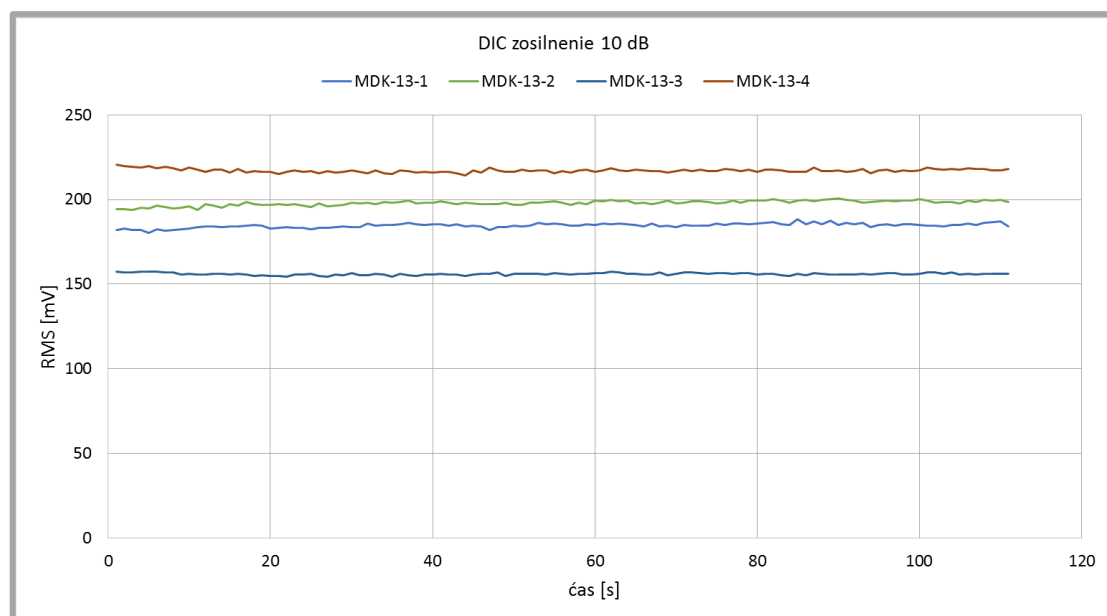
Veľký nárast RMS nastal hlavne u MDK-13-4. Tento snímač má už pri nulovom zosilnení veľkú odozvu signálu. Hodnota RMS u tohto snímača vzrástla o 91%. Dôvodom je nulová časová degradácia snímača. Snímače MDK-13-1, MDK-13-2 a MDK-13-3 vykazujú zvýšenú odozvu na poškodenie ložiska ako pri meraní s ložiskom s poškodeným vonkajším krúžkom. Priemer hodnôt RMS MDK-13-2 dosahuje 42 mV a MDK-13-1 zaznamenal nárast na hodnotu 35 mV. Priemer zaznamenanej RMS MDK-13-3 dosahuje nárast na hodnotu 27 mV.

**Tab. 3** Priemery sledovaných hodnôt RMS pri 0 zosilnení

Snímač	RMS [mV] DOC	RMS [mV] DC
MDK-13-1	27	36
MDK-13-2	32	42
MDK-13-3	21	26
MDK-13-4	38	73

### 5.8.4 Experimenty pri softwarovom zosilnení 10 dB

Obr. 5-15 zobrazuje výsledky experimentu s ložiskom s poškodeným vnútorným krúžkom pri softwarovom zosilnení 10 dB. Bol zaznamenaný výraznejší vzostup hodnôt RMS u všetkých snímačov, kde hodnoty snímača MDK-13-2 snímača



**Obr. 5-15** Hodnoty RMS v závislosti na čase pri meraní s 10 dB zosilnení a ložiskom s poškodeným vnútorným krúžkom

dosahujú 197 mV. Snímač dosiahol vyšej hodnoty oproti nulovému zosilneniu o 360 %. A hodnoty RMS MDK-13-4 dosahujú zvýšenia o 320 %. Avšak RMS u MDK-13-1 dosahuje zisku 413 % pri porovnaní s nulovým zosilnením a MDK-13-3 dosahuje hodnôt v priemere 156 mV čo je nárast o 420 %. Pri tomto meraní bolo zistené, že snímače s dlhším degradačným časom dosahujú pri tomto zosilnení vyššie zisky hodnôt RMS.

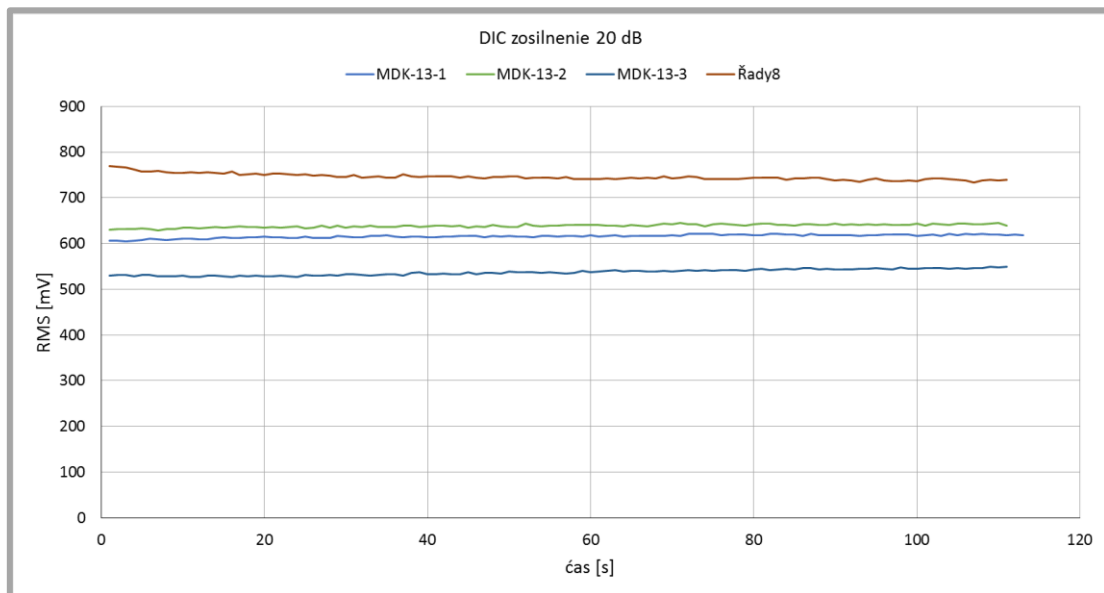
**Tab. 4** Priemery sledovaných hodnôt RMS pri ložisku DIC a 10dB zosilnení

Snímač	RMS [mV] DIC
MDK-13-1	185
MDK-13-2	198
MDK-13-3	156
MDK-13-4	217

**5.8.5 Experiments pri softwarovom zosilnení 20 dB**

5.8.5

Jedná sa o maximálne zosilnenie, ktorým sa zaoberala táto práca. Pri tomto zosilnení dochádza s vysokému nárastu prijatej energie a citlosť snímačov dosahuje vysokých



**Obr. 5-16** Hodnoty RMS v závislosti na čase pri meraní s 20 dB zosilnení a ložiskom s poškodeným vnútorným krúžkom

hodnôt. Obr. 5-16 popisuje hodnoty 20 dB s poškodeným vnútorným krúžkom. Snímače MDK-13-2 a MDK-13-1 dosahujú RMS v hodnote cez 600 mV a MDK-13-4 prekračuje pri tomto meraní 700 mV. Rozdiel medzi snímačmi pri tomto zosilnení dosahuje hodnôt v intervale 110-210 mV. Pri tomto zosilnení je jav degradácie snímačov AE najzreteľnejší z dôvodu vysokého ovplyvnenia citlosťi.

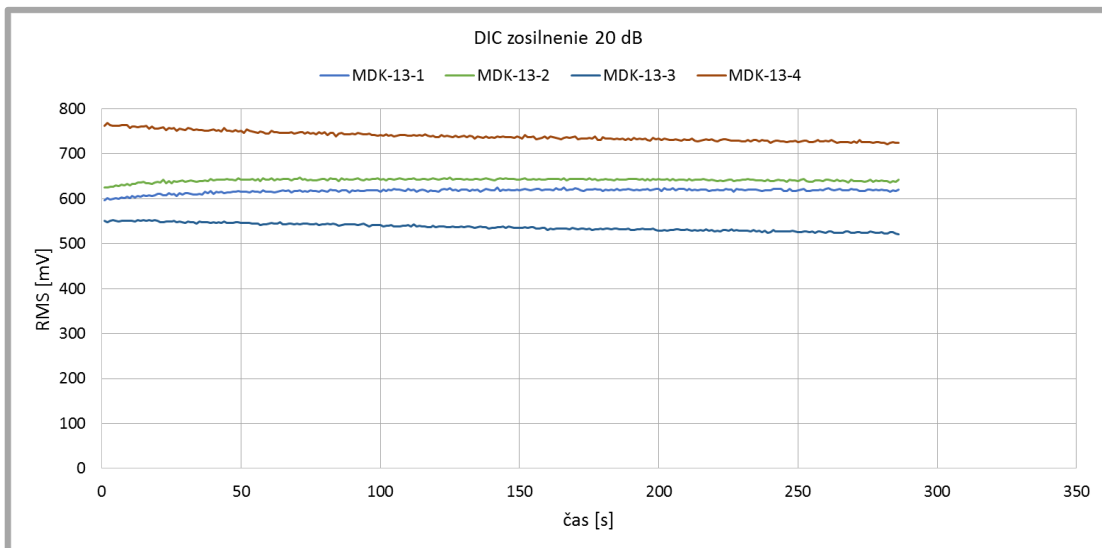
**Tab. 5** Priemery sledovaných hodnôt RMS pri ložisku DIC s 20dB zosilnením

Snímač	RMS [mV]
MDK-13-1	617
MDK-13-2	639
MDK-13-3	537
MDK-13-4	749

**5.8.6 Experiments dlhších kalibračných časov**

5.8.6

Ďalej boli uskutočnené 5 minútové merania s pravým zmyslom otáčania, ktoré mali zistiť chovanie snímačov pre prípad dlhších kalibračných časov. Experimentom bolo zistené, že pri dlhších kalibračných časoch nastáva väčší pokles hodnôt RMS. To



Obr. 5-17 Hodnoty sledovanej veličiny pri 5 minútovom meraní s 20 dB zosilnením a ložiskom s poškodeným vnútorným krúžkom

môže byť zapríčinené nízkym prítlakom snímačov a zvyšujúcou sa teplotou ložiska. Tento efekt je pre kalibráciu nežiadúci. Tento jav je možné pozorovať na obr. 5-17, kde sú MDK-13-3 a MDK-13-4 týmto javom ovplyvnené. Chovanie snímačov MDK-13-1 a MDK-13-2 je možné považovať za ideálne. Dosahované hodnoty RMS sú obdobné ako u identického 2 minútového merania. Pri tomto experimente, bol vyberaný interval v rozsahu 285 sekúnd pre odstránenie hodnôt pri rozbehu a dobehu elektromotoru.

Tab. 6 Priemery RMS signálu DIC, zosilnenie 20 dB, 5 minútový test

Snímač	RMS [mV]
MDK-13-1	617
MDK-13-2	641
MDK-13-3	537
MDK-13-4	739

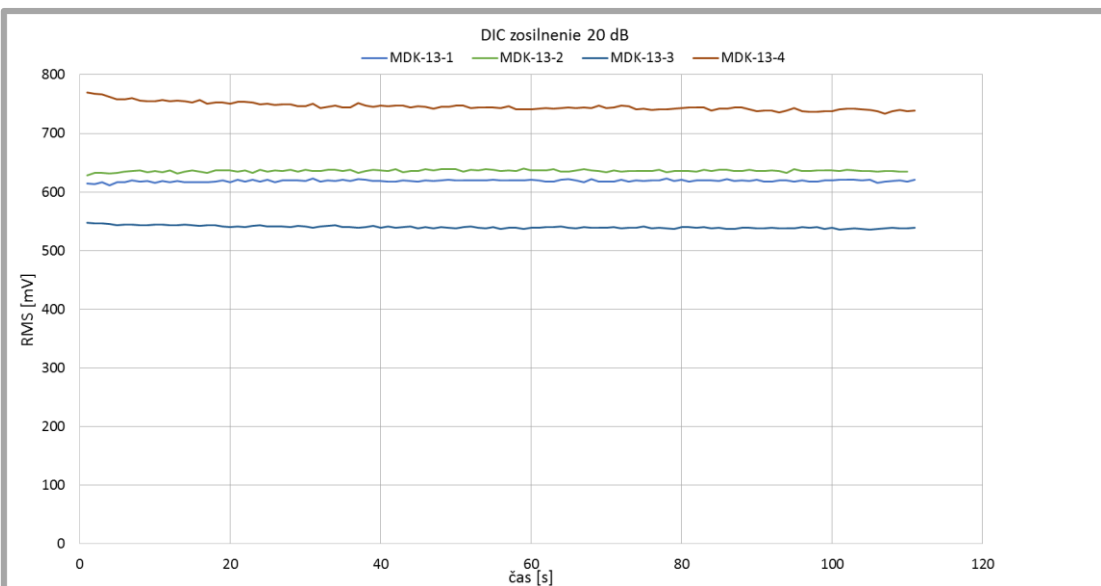
### 5.8.7 Vplyv zmyslu rotácie

Ďalším typom testov bolo overenie vplyvu smeru rotácie na RMS. Experimenty boli realizované za rovnakých podmienok ako 2 minútové merania s tým, že zmysel otáčania ložiska bol ľavotočivý smer. Cieľom experimentu bolo pozorovať zmenu RMS pri ľavom zmysle otáčania ložiska. Obr. 5-18 zobrazuje hodnoty RMS odozvy signálu pri 20 dB a DIC.

Tab. 7 Priemery RMS signálu DIC, zosilnenie 20 dB, ľavý zmysel otáčania

Snímač	RMS [mV]
MDK-13-1	619
MDK-13-2	636
MDK-13-3	540
MDK-13-4	746

Hodnoty RMS sú zmyslom otáčania ložiska ovplyvnené. Snímače umiestňované na ľavú stranu kalibračného telesa vykazovali zisk 3-4 mV hodnoty RMS, zatiaľ čo snímače umiestnené na pravej strane, dosahovali hodnôt RMS nižších ako pri pravom



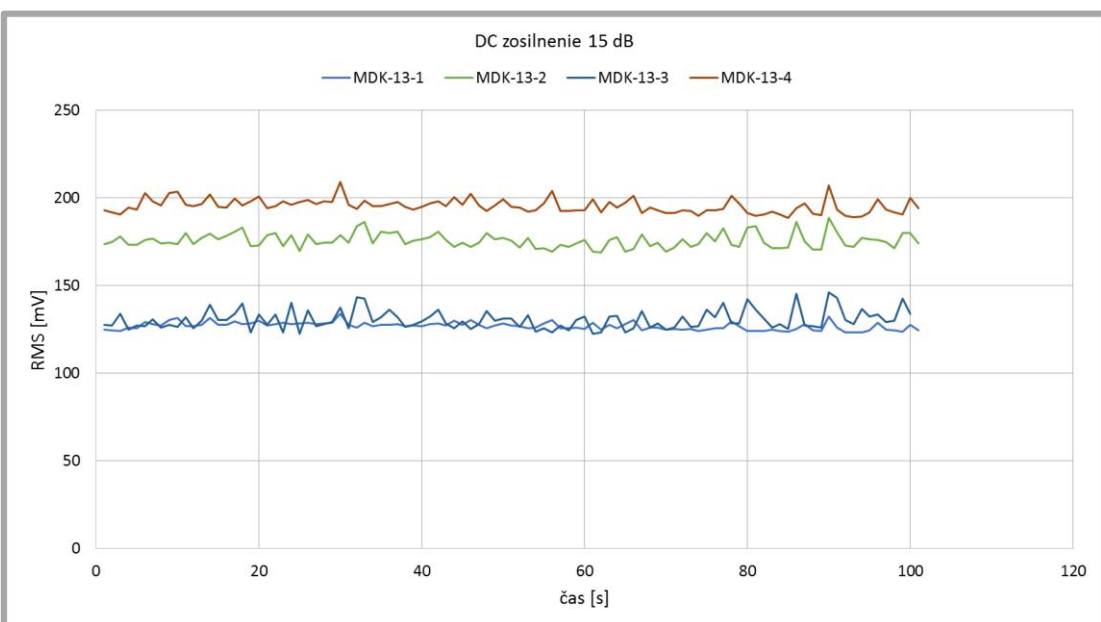
Obr. 5-18 Hodnoty sledovanej veličiny pri meraní v ľavom zmysle otáčania s 20 dB zosilnením a ložiskom s poškodeným vnútorným krúžkom

zmysle otáčania o 5-7 mV. Smer rotácie teda ovplyvňuje hodnoty RMS spojitého signálu AE na experimentálnom zariadení.

### 5.9 Výsledky z kalibračných testov bez väzbového média

5.9

Tieto merania boli zamerané na možnosť kalibrácie bez väzbového média. Cieľom bolo určiť možnosť kalibrácie, pri ktorej by meranie nebolo ovplyvnené negatívnym



Obr. 5-19 Hodnoty sledovanej veličiny RMS pri meraní bez väzbového média s 20 dB zosilnením a ložiskom s poškodenou klietkou

vplyvom nesprávneho nanesenia väzbového média do kontaktu snímač-kalibračné teleso. Jednalo sa o merania v rozsahu 2 minút, ktoré mali overiť metódu kalibrovania „na sucho“. Priľnavosť k povrchu experimentálneho zariadenia bola zabezpečená len magnetmi snímačov.

Obr. 5-19 zobrazuje chovanie snímačov pri 15 dB ložiska s poškodenou klietkou. Bez použitia väzbového média sú hodnoty RMS veľmi nestále a nie je zaručená stabilita meraných dát. S výnimkou snímača MDK-13-1 majú RMS väčší rozptyl hodnôt. To je zapríčinené nedostatočnou priľnavosťou snímačov k povrchu kalibračného telesa. Taktiež v dôsledku nulovej adhézie k povrchu dochádzalo k zníženiu hodnôt RMS, ktoré vykazovali stratu.

U snímača MDK-13-1 činila strata 110 mV, MDK-13-3 90 mV, u snímača MDK-13-2 strata dosahovala 150 mV a u MDK-13-4 bola strata cez 200 mV. Z týchto meraní je zrejmé, že negatívny vplyv nedostatočnej adhézie ma väčší dopad na citlivejšie snímače. Dôležitým javom v tomto prípade meria ja taktiež efektivita magnetu. Ten postup degradujú, čo sa negatívne prejavuje na výsledkoch merania.

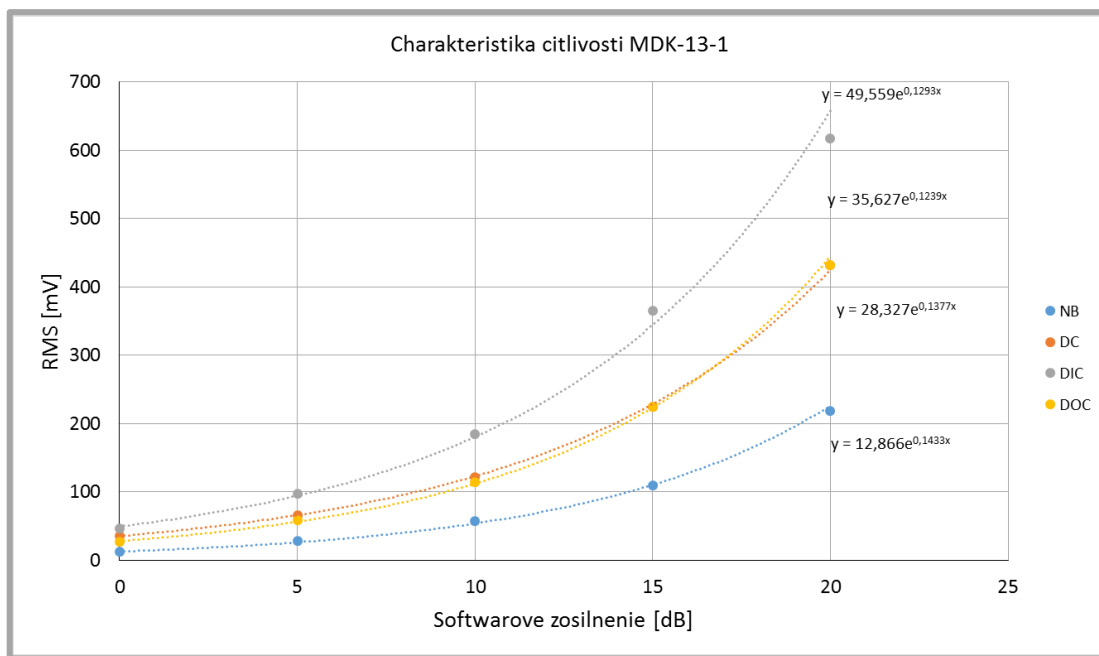
Vyvodený záver z tohto merania je, že kalibrácia „na sucho“ nie je za daných podmienok vhodná.

## 5.10 Charakteristiky snímačov AE MDK-13

Na základe predošlých meraní boli zostavené charakteristiky citlivosti snímačov AE, ktoré stanovujú citlivosť. Charakteristika zobrazuje závislosť citlivosti snímača, ktorá je vyjadrená hodnotou RMS, a softwarového zosilnenia. Charakteristika stanovuje citlivosť snímača pre každý typ experimentálne poškodeného ložiska.

### 5.10.1 Charakteristika citlivosti snímača MDK-13-1

Na obr. 5-20 sú zobrazené charakteristiky snímača MDK-13-1 pre všetky typy ložísk. Vynesené body jednotlivých ložísk sú preložené spojnicou trendu. V prípade všetkých snímačov dochádza k exponenciálnej závislosti medzi RMS a zosilnením. Odozva



Obr. 5-20 Charakteristika citlivosti v závislosti na type poškodenia snímača MDK-13-1

tohto snímača na poškodenú klietku a poškodený vonkajší krúžok dosahuje podobných hodnot. Takmer rovnakú odozvu signálu je možné pozorovať u zosilnenia

**Tab. 8** Aritmetické priemery RMS snímača MDK-13-1

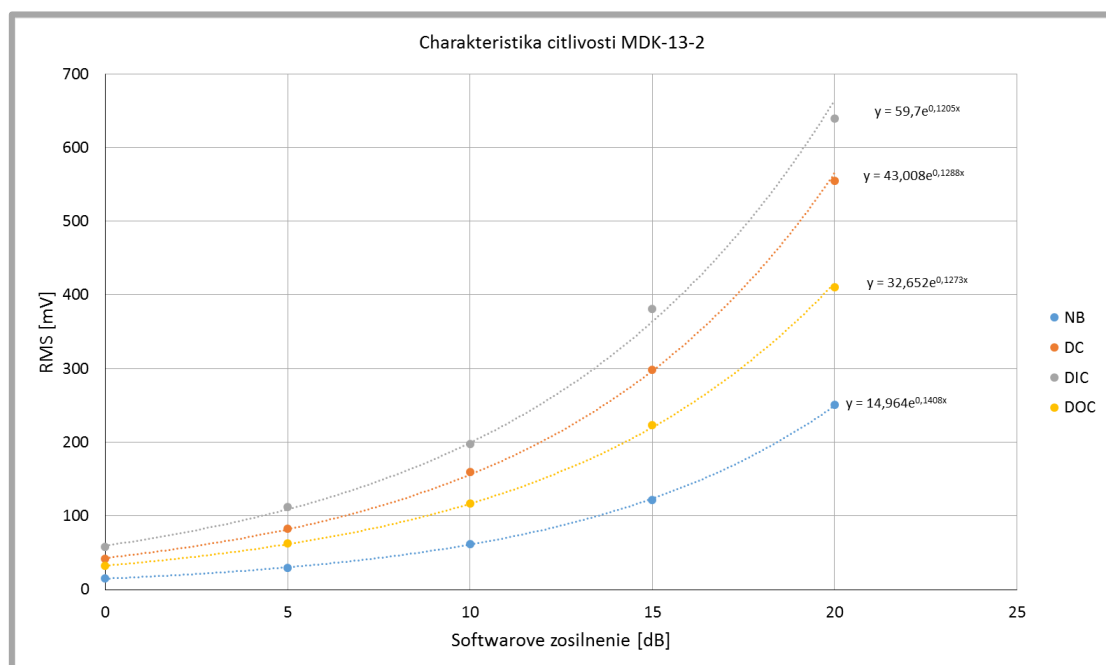
Poškodenie	0 dB	5 dB	10 dB	15 dB	20 dB
NB	12	28	57	109	219
DC	36	66	122	224	416
DOC	27	59	115	225	432
DIC	47	98	192	365	653

15 dB. Ložisko s poškodením vnútorného krúžku dosahuje u tohto snímača pri zosilnení 20 dB 652,5 mV.

### 5.10.2 Charakteristika citlivosti snímača MDK-13-2

5.10.2

MDK-13-2 ma vyššiu citlosť oproti MDK-13-1. Citlosť je zaznamenaná na obr. 5-21, z ktorého je zrejmé že snímač dosahuje väčšej citlivosti ako MDK-13-1. Dôkazom



**Obr. 5-21** Charakteristika citlivosti v závislosti na type poškodenia snímača MDK-13-2

je, že pri DIC a zosilnení 5 dB presahuje hodnotu 100 mV. Takisto pri DIC a 10 dB hodnota RMS dosahuje skoro 200 mV. Hodnoty získané experimentmi pre tento snímač dosahujú hodnoty, ktoré ho klasifikujú ako druhý najcitlivejší.

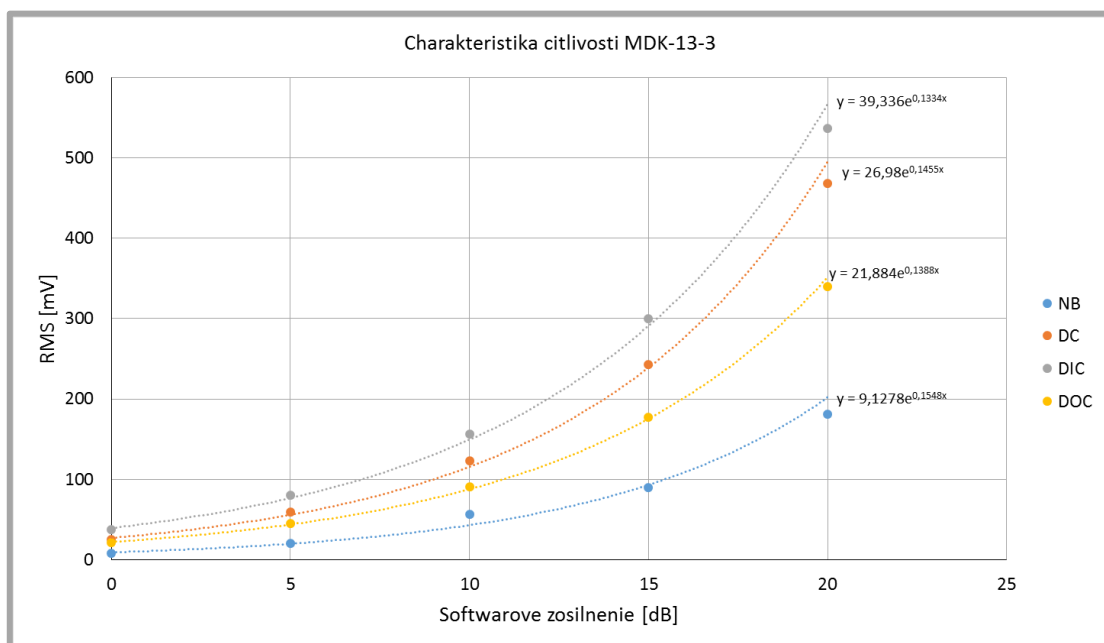
**Tab. 9** Aritmetické priemery RMS snímača MDK-13-2

Poškodenie	0 dB	5 dB	10 dB	15 dB	20 dB
NB	15	30	62	122	251
DC	42	83	160	298	555
DOC	32	63	117	223	410
DIC	58	112	208	381	663

### 5.10.3 Charakteristika citlivosti snímača MDK-13-3

Na obr. 5-22 sú zobrazené hodnoty senzoru s označením MDK-13-3. Výsledky RMS dosiahnuté týmto snímačom zodpovedajú tomu, aby bol klasifikovaný ako najmenej citlivý. Ako príčina bola stanovená najdlhšia prevádzková doba snímača, pri ktorej došlo k väčšej degradácii komponentov. Avšak tento snímač stále vykazuje vysokú citlivosť pri vyšších zosilneniach čo je možné posúdiť z tabuľky 4. Pri softwarových zosilneniach 15 dB a vyšších dosahuje stále prijateľných výsledkov.

Poškodenie	0 dB	5 dB	10 dB	15 dB	20 dB
NB	8	20	56	90	181
DC	26	59	123	243	468
DOC	21	45	91	177	340
DIC	37	80	157	300	538



Obr. 5-22 Charakteristika citlivosti v závislosti na type poškodenia snímača MDK-13-3

### 5.10.4 Charakteristika citlivosti snímača MDK-13-4

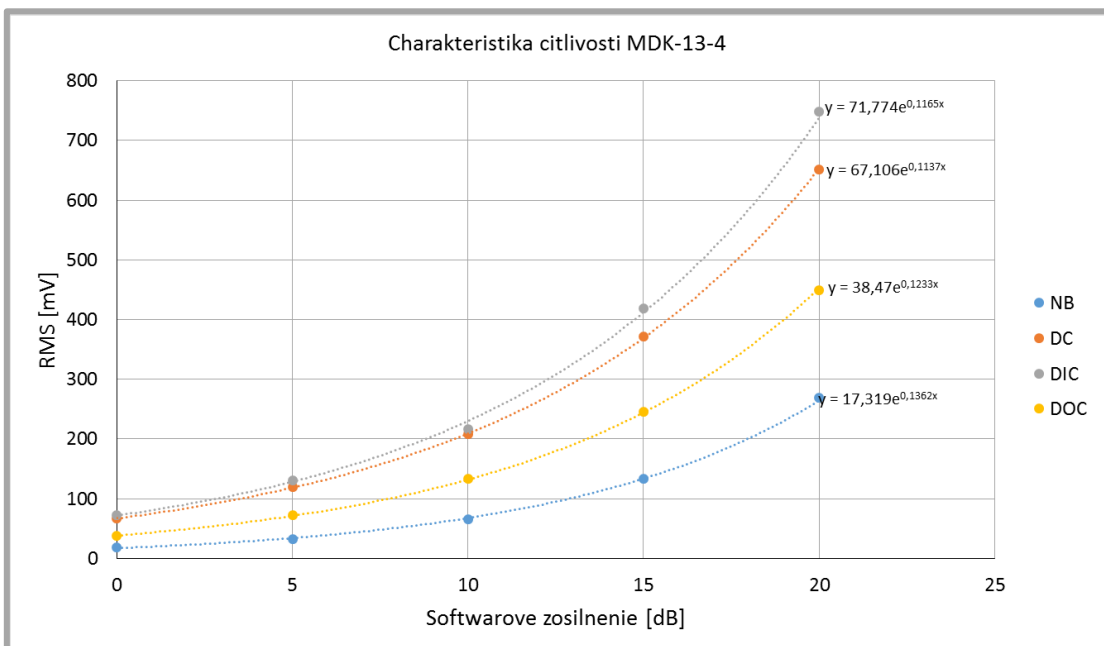
Jedná sa o nový snímač, ktorého prevádzková doba je prakticky nulová. Hodnoty citlivosti tohto snímača dosahujú jednoznačne najvyšších hodnôt RMS v celej škále experimentov od zosilnení 0-20 dB pri všetkých druhoch poškodenia ložísk (Obr.5-23).

Tab. 11 Aritmetické priemery RMS snímača MDK-13-4

Poškodenie	0 dB	5 dB	10 dB	15 dB	20 dB
NB	18	33	66	134	269
DC	67	119	208	372	651
DOC	38	72	133	245	449
DIC	73	130	217	419	749

Už pri 10 dB zosilnení a použití ložiska s poškodenou klietkou (druhé najvýznamnejšie poškodenie) dosahuje snímač hodnoty RMS ako jediný cez 200 mV. Rozdiel však nie je vysoký pri porovnaní s MDK-13-2.

Na základe nameraných dát a nasledovného spracovania signálu sa tento snímač klasifikuje ako najcitlivejší. V tabuľke 11 sú zobrazené aritmetické priemery RMS signálu jednotlivých experimentov pre všetky typy experimentálnych ložísk.



Obr. 5-23 Charakteristika citlivosti v závislosti na type poškodenia snímača MDK-13-4

5.11

## 5.11 Návrh metódy kalibrácie

Hodnota efektivity kalibrovaného snímača je určená na základe priamej úmernosti k referenčnému snímaču, kde efektivita referenčného snímača je 100% a efektivita kalibrovaného snímača sa dopočítava. Zvolí sa referenčné ložisko, ktoré sa použije ako zdroj AE. Následne je experimentálne získaná charakteristika kalibrovaného snímača.

Pokiaľ je zaručené, že pri experimente nepríde ku zmene experimentálnych podmienok, nie je nutné znova vyhodnocovať charakteristiku referenčného snímača, ale je vhodnejšie použiť charakteristiku získanú v predchádzajúcich kalibráciach. Na základe priamej úmernosti týchto parametrov sme schopní určiť efektivitu kalibrovaného snímača podľa relatívnej kalibrácie.

Ked'že sú charakteristiky snímačov exponenciálneho typu, je nutné počítať efektivitu snímača v kľúčových bodoch zosilnenia (0,5,10,15,20 dB) a z tohto sme schopní určiť hodnotu relatívnej efektívnosti kalibrovaného snímača.

Pri prvotných kalibráciach je prvým cieľom stanoviť referenčný snímač na základe experimentálne získaných charakteristik citlivosti. Voľba referenčného snímača záleží na aplikácii výsledkov. Pri kalibrácii väčšej série snímačov je výhodnejšie stanoviť ako referenčný snímač ten doposiaľ najcitlivejší. Je nutné stanoviť charakteristiku kalibrovaného snímača. Následne sa porovnajú hodnoty so snímacom referenčným a posúdi sa priamou úmerou citlivosť voči referenčnému snímaču v 5 stanovených a meraných softwarových zosilneniach. Hodnota je vyjadrovaná percentuálne (%). Ked' snímač prekročí hranicu 100 % citlivosti referenčného snímača, môže byť

## VÝSLEDKY

klasifikovaný ako najlepší možný a je možné ho teda stanoviť ako referenčný pre ďalšie kalibrácie.

Pri aplikácii výsledkov na pozorovanie degradácie snímačov je nutné považovať vždy jeden snímač za referenčný z dôvodu zmeny citlivosti v závislosti na dĺžke prevádzky pozorovaných snímačov.

Tabuľky 12,13,14 popisujú relatívnu efektivitu snímačov, kde bol ako referenčný snímač zvolený MDK-13-4.

Tab. 12 Hodnoty relatívnej citlivosti snímača MDK-13-1 vyjadrené v %

<b>MDK-13-1</b>	<b>0 dB</b>	<b>5 dB</b>	<b>10 dB</b>	<b>15 dB</b>	<b>20 dB</b>
NB	71 %	84 %	86 %	82 %	81 %
DC	57 %	55 %	58 %	60 %	64 %
DOC	71 %	81 %	86 %	90 %	96 %
DIC	64 %	75 %	82 %	87 %	87 %

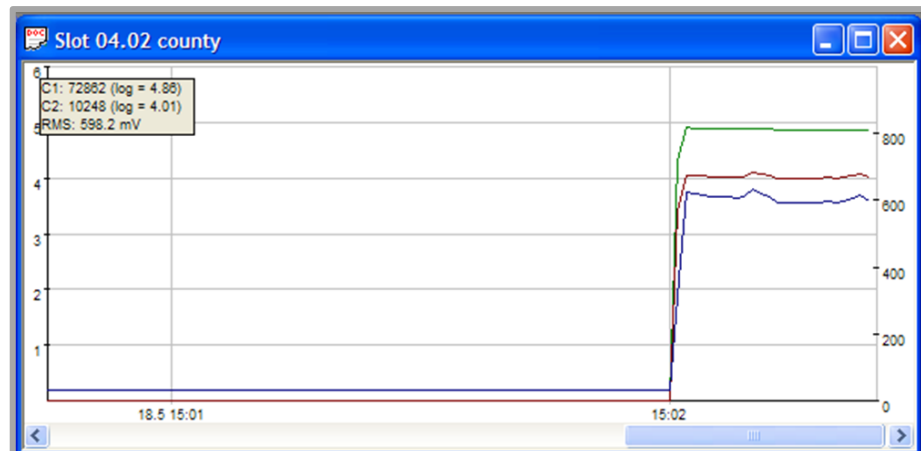
Tab. 13 Hodnoty relatívnej citlivosti snímača MDK-13-2 vyjadrené v %

<b>MDK-13-2</b>	<b>0 dB</b>	<b>5 dB</b>	<b>10 dB</b>	<b>15 dB</b>	<b>20 dB</b>
NB	83 %	90 %	94 %	91 %	93 %
DC	63 %	70 %	77 %	80 %	85 %
DOC	84 %	88 %	88 %	91 %	91 %
DIC	79 %	86 %	91 %	91 %	85 %

Tab. 14 Hodnoty relatívnej citlivosti snímača MDK-13-3 vyjadrené v %

<b>MDK-13-3</b>	<b>0 dB</b>	<b>5 dB</b>	<b>10 dB</b>	<b>15 dB</b>	<b>20 dB</b>
NB	44 %	61 %	84 %	67 %	67 %
DC	38 %	50 %	59 %	65 %	72 %
DOC	55 %	63 %	68 %	72 %	76 %
DIC	51 %	62 %	72 %	72 %	72 %

Najjednoduchšou metódou je odpisovanie meranej RMS priamo v reálnom čase kalibrácie (Obr. 5-24). Je však nutné sledovať RMS až po ustálení hodnôt. To nastáva okolo 4-5 sekundy kalibrácie, kedy sa zaznamenávaná energia vzniknutá začiatkom rotácie ložiska ustáli. Následne sa hodnoty RMS vpíšu do grafu RMS v závislosti na zosilnení a cez priamu úmernosť dostáva pre dané zosilnenia efektívnu citlivosť kalibrovaného snímača.



Obr. 5-24 Program Daemon pri experimente v reálnom čase

## 6 DISKUSIA

Pri relatívnej kalibrácii sa používa nespojité udalosť AE. Zväčša sa jedná o normalizované zdroje (Hsu-Nielsenov zdroj, lom kapiláry, generátor pulzov). Snímače AE na tento impulz reagujú odozvou v tvare hitu AE. Preto kalibrácia týmto spôsobom nemusí vždy zaručovať obdobné chovanie ako u udalosti spojitej, ktorým je príklad rotujúce ložisko. Hlavným určujúcim parametrom pri relatívnej kalibrácii je pritom maximálna amplitúda [5], ale pri spojitéch udalostiach AE sa tento parameter s presnosťou nedokáže zaznamenať. Preto bolo nutné zvoliť parameter, ktorý by zodpovedal vyhodnocovaciemu postupu pri diagnostike ložísk metódou AE.

### 6.1 Konštrukčná časť

Prvým cieľom v tejto práci návrh a zostavenie funkčného experimentálneho zariadenia, ktoré je schopné relatívnej kalibrácie za podmienok, ktoré charakterizujú diagnostiku ložísk. Dôležitosťou sa vyznačoval fakt, že je nutné využiť rotácie ložiska ako zdroja AE a tým napodobit' podmienky skúšok ložísk.

Návrhy experimentálneho zariadenia vychádzali z experimentálnych zariadení, ktoré sa používajú pri diagnostike poškodenia ložísk a skúšok ich trvanlivosti. Pri riešení vznikli dva odlišné koncepcné návrhy, ktorých hlavná rozdielnosť bola v orientácii osy rotácie.

Prvý koncepcný návrh bol riešený na základe publikácie o experimentoch s otočnými ložiskami. Toto experimentálne zariadenie má osu rotácie orientovanú vertikálne [3]. Pre túto aplikáciu bola k dispozícii vyradená metalografická brúška, ktorá by po modifikácii a úprave podľa vytvoreného návrhu splňala predpoklad podmienok diagnostiky ložísk a teda aj relatívnej kalibrácie pri spojitej AE.

Druhým návrhom bolo experimentálne zariadenie, navrhnuté na princípe zariadenia používaného pri monitorovaní chovania ložísk s poškodením a následným zaťažovaním [11]. Orientácia osy rotácie je horizontálneho typu (obvyklé diagnostických zariadení pre ložiská). Jedná sa o zariadenie jednoduchej konštrukcie, ktoré vytvára podmienky charakteru, zodpovedajúcemu diagnostike ložísk.

Ako favorizované riešenie sa zvolil druhý návrh z hľadiska nízkych nákladov na výrobu, jednoduchej manipulácie pri výmene referenčných ložísk a prenosnosti zariadenia. Snímače sa umiestňujú na tzv. kalibračné teleso, ktorého povrch je upravený a prispôsobený pre umiestnenie všetkých typov snímačov AE, ktoré používa ÚK. Zariadenie umožňuje zaťažovanie prostredníctvom upravenej skrutky.

### 6.2 Experimentálna časť

Pre relatívnu kalibráciu snímačov AE so spojitoou udalosťou bolo nutné zvoliť vhodný vyhodnocovací parameter. Ako najpodstatnejší sa javí RMS (Root Mean Square), efektívna hodnota charakterizujúca energiu signálu. RMS je zaznamenaná na základe zvolenej vzorkovacej frekvencie, ktorá sa pre kalibráciu zvolila 2 MHz.

Pre relatívnu kalibráciu sa zvolili 4 snímače s označením MDK-13, ktoré sa na ÚK používajú pri diagnostike ložísk. Jedná sa o piezoelektrické snímače s interným magnetom a predzosiľňovačom o hodnote zosiľnenia cca 35 dB [16] a plochou kontaktu 13 mm.

Prvým krokom experimentálnej časti boli merania citlivosti snímačov pri nespojitej AE. Ako zdroj AE bol použitý Hsu-Nielsenov zdroj. Jednalo sa o experiment, ktorým sa overovala súvislosť chovania snímačov pri nespojitej a spojitej AE.

Na základe publikácie o monitorovaní pomalybežných ložísk [11] sa stanovilo, že pre zmenu RMS sa použijú ložiská s určitým typom poškodenia. Pri experimentoch pre stanovenie metódy kalibrácie sa zvolili guľkové ložiská s označením 6204. Jedná sa o valivé ložiská, s ktorými Ústav kontruování realizoval veľké množstvo únavových skúšok. Typy poškodenia boli vytvorené úmyselne pre stanovenie jasnej odozvy signálu na dané poškodenie. Pri experimentoch sa používali 4 ložiská, nepoškodené ložisko, ložisko s mechanicky poškodenou klietkou, ložisko s poškodeným vonkajším krúžkom a ložisko s poškodeným vnútorným krúžkom.

Každé s vybraných ložísk generuje pri rotácii určitú hodnotu AE. Väčšie poškodenie spôsobuje vznik väčších elastických vln, takže piezoelektrický element generuje väčšie množstvo elektrického napätia.

Ako hlavné experimentálne ložisko sa na základe experimentov zvolilo ložisko s poškodeným vnútorným krúžkom. Toto ložisko vykazuje zvýšenie prijatej energie z dôvodu pittingu vytvoreného na vnútornom krúžku. Táto časť ložiska pri kalibrácii rotuje a má väčšiu obvodovú rýchlosť ako valivé elementy. Dochádza k častejšiemu kontaktu pittingu a valivých elementov. Z toho dôvodu nastáva generovanie AE, ktorej hodnoty RMS dosahujú vysokých hodnôt. Nevýhodou je vznik nadmerného hluku.

Experimenty pre stanovenie metódy kalibrácie predstavovali sériu meraní, ktoré monitorovali chovanie snímačov na spojité AE. Pri meraní sa pozorovala RMS a následne vyhodnocovala. Podmienky konfigurácie vyhodnocovacieho programu boli totožné pri každom meraní s výnimkou jedného parametru, softwarového zosilnenia. To má pre citlivosť snímačov veľký význam a pri aplikáciach diagnostiky ložísk je tento parameter často upravovaný.

Experimenty boli realizované v 2 a 5 minútových intervaloch vždy pre softwarové zosilnenie 0, 5, 10, 15 a 20 dB. Taktiež bol pozorovaný vplyv väzbového média na kalibráciu a experimentálne vyvrátená možnosť kalibrácie „na sucho“ (bez väzbového média). Ďalej bol pozorovaný vplyv zmyslu otáčania ložiska. Pozornosť bola venovaná aj hladine šumu jednotlivých komunikačných kanálov, ktorá pri nízkych hodnotách RMS môže negatívne ovplyvniť výsledky kalibrácie. Hodnota hladiny šumu sa preto u jednotlivých meraní odpočítavala od výsledného signálu.

Softwarové zosilnenie 0 dB bolo volené z dôvodu, že kalibrované snímače MDK-13 obsahujú interný predzosilňovač.

Zosilnenia 5, 10, 15 a 20 dB boli volené ako východiskové pre monitorovanie chovania snímačov AE pri zvyšujúcom sa zosilnení. Po dokončení a vyhodnotení experimentov so všetkými ložiskami s použitím všetkých vybraných zosilnení, sa na základe aritmetických priemerom nameraných hodnôt vytvorili charakteristiky citlivosti kalibrovaných snímačov. Charakteristiky zobrazujú exponenciálnu závislosť hodnoty RMS na softwarovom zosilnení. Tieto charakteristiky sú určujúcim prvkom pri stanovovaní efektivity daného snímača.

Volba referenčného snímača závisí na aplikáciách, na ktoré budú snímače použité. Táto práca odporúča pri kalibrácii veľkého množstva snímačov voliť najcitlivejší. Avšak pri sledovaní degradácie efektivity snímačov nie je nutné zvoliť najcitlivejší snímač referenčný. Je však nevyhnutné pokladať jeden snímač za referenčný pri celom experimente sledovania degradácie.

Z meraní a výsledných charakteristik sa ako referenčný snímač pri relatívnej kalibrácii spojitu AE volil MDK-13-4 a teda aj charakteristika tohto snímača je referenčnou.

Návrh výslednej metódy kalibrácie je založený na základe efektivity snímačov AE, vyjadrenej v % v závislosti od referenčného snímača. Tá sa získava výpočtom priamej úmernosti hodnôt RMS. Chovanie snímačov pri jednotlivých zosilneniach dosahuje vždy inej percentuálnej hodnoty. Preto bolo nutné vypočítať účinnosť v každom bode používaneho zosilnenia a takto stanoviť efektivitu snímačov do 5dB intervalov.

Ked'že metóda AE je veľmi presnou diagnostickou metódou je pri jej kalibrácii nutné odstránenie všetkých vonkajších nežiadúcich vplyvov. Preto by sa nadviazanie na túto prácu malo zaoberať spresňovaním výsledkov, vyhodnocovacieho postupu a metódy kalibrácie. Veľký význam má taktiež prítlač snímačov AE na povrch kalibračného telesa, ktorý by zaistil stabilnú prítlačnú silu. Táto práca však nie je venovaná vplyvu prítlačnej sily z dôvodu, že pri diagnostike ložísk metódou AE nie je vždy možné zaručiť prítlač snímačov. Modifikáciou experimentálneho zariadenia by preto mohli byť upínacie prvky. Pri použití prítlačnej sily a väzbového média sa zvyšuje presnosť nameraných dát.

## 7 ZÁVER

Táto diplomová práca bola zameraná na návrh a nasledovné overenie funkčnosti prenosného experimentálneho zariadenia, ktoré umožňuje porovnávať piezoelektrické snímače AE princípom relatívnej kalibrácie pri spojitej AE. Ďalej bolo cieľom na základe experimentálnych meraní vytvoriť návrh metódy kalibrácie, ktorá umožňuje klasifikáciu snímačov AE podľa citlivosti. Všetky hlavné a dielčie ciele diplomovej práce boli splnené.

Experimentálne zariadenie je funkčné a je možné ho používať pre relatívnu kalibráciu rôznych typov snímačov AE. Na zariadenie je možné umiestniť snímače do veľkosti kontaktnej plochy 17 mm. Jedná sa o prenosné zariadenie, ktoré je napájané zo siete s napäťím 230 V.

Experimentálna časť bola zameraná na chovanie snímačov pri zmene softwarového zosilnenia. Taktiež sa monitorovala odozva snímačov na rôzne druhy poškodenia ložísk. Merania boli realizované v časových intervaloch 2 a 5 minút, pri ktorých bol pozorovaný vplyv zmyslu otáčania ložiska na hodnotu RMS. Experimentálne bolo potvrdené, že zmysel otáčania ložiska má vplyv na RMS, avšak kalibráciu tento fakt zásadne neovplyvňuje. V priebehu experimentálnej časti sa potvrdil zásadný vplyv použitia väzbového média a vylúčila sa tým možnosť kalibrácie „na sucho“.

Metódu kalibrácie umožňujú vytvorené charakteristiky citlivosti 4 pozorovaných snímačov s označením MDK-13. Charakteristiky snímačov zobrazujú experimentálne overený priebeh závislosti RMS na softwarovom zosilnení. Porovnaním hodnôt RMS kalibrovaného a referenčného snímača sa dostáva relatívna citlivosť kalibrovaného snímača.

Výstupy dosiahnuté v tejto diplomovej práci je možné využiť pri kalibrácii ďalších snímačov AE, ale aj pri diagnostike poškodenia ložísk a následnú elektrickú odozvu piezoelektrických snímačov AE.

## 8 ZOZNAM POUŽITÝCH ZDROJOV

- [1] TANDON, N., G.S. YADAVA, K.M. RAMAKRISHNA, Hongtao ZHU, Craig A.S. MOODIE a Qiang ZHU. A comparison of some condition monitoring techniques for the detection of defect in induction motor ball bearings: Review and application for low speed slew bearing. *Mechanical Systems and Signal Processing* [online]. 2007, **21**(1), 244-256 [cit. 2016-05-01]. DOI: 10.1016/j.ymssp.2005.08.005. ISSN 08883270.
- [2] CAESARENDRA, Wahyu, Buyung KOSASIH, Anh Kiet TIEU, Hongtao ZHU, Craig A.S. MOODIE a Qiang ZHU. Acoustic emission-based condition monitoring methods: Review and application for low speed slew bearing. *Mechanical Systems and Signal Processing* [online]. 2016, **72-73**, 134-159 [cit. 2016-05-01]. DOI: 10.1016/j.ymssp.2015.10.020. ISSN 08883270.
- [3] HORT, F., VLAŠIC, F. MAZAL,P. Vybrané aplikace metody AE v Ústavu konstruování FSI VUT v Brně. In *49. Int. Conf. KCMS 2008, Srní 8. - 10. 9. 2008*, ZČU Plzeň, 2000, s. 87-90. ISBN 978-80-7043-718-6.
- [4] PŘIBÁN, Miroslav. *Metoda akustické emise I AE*. Česká společnost pro NDT, Brno: Certifikační sdružení pro personál APC, Praha, 2012.
- [5] KOPEC, Bernard. Nedestruktivní zkoušení materiálů a konstrukcí: (nauka o materiálu IV). Vyd. 1. Brno: Akademické nakladatelství CERM, 2008, 571 s. ISBN 978-80-7204-591-4.
- [6] BEATTIE, Alan G. Acoustic Emission Non-Destructive Testing of Structures using Source Location Techniques. No. SAND2013-7779. *Sandia National Laboratories (SNL-NM), Albuquerque, NM (United States)*, 2013.
- [7] BENEŠ, Jiří a Petr KEPRT. A COMPARISON OF AE SENSOR CALIBRATION METHODS. In: *Database and Journal of Nondestructive Testing* [online]. Brno, 612 00, Czech Republic: Acoustic Emission Group, 2008 [cit. 2016-05-01]. Dostupné z: [www.ndt.net/article/jae/papers/26\\_060.pdf](http://www.ndt.net/article/jae/papers/26_060.pdf)
- [8] MILLER, R. K., HILL, E. K. *Acoustic emission testing*. 3rd ed. Columbus: American Society for Nondestructive Testing, 2005, 446 s. ISBN 15-711-7106-1.

- [9] ZHOU, Wei, Thomas G. HABETLER a Ronald G. HARLEY. Bearing Condition Monitoring Methods for Electric Machines: A General Review. *2007 IEEE International Symposium on Diagnostics for Electric Machines, Power Electronics and Drives*[online]. IEEE, 2007, , 3-6 [cit. 2016-05-01]. DOI: 10.1109/DEMPED.2007.4393062. ISBN 978-1-4244-1061-3.
- [10] VAN HECKE, Brandon, Jae YOON, David HE, Hongtao ZHU, Craig A.S. MOODIE a Qiang ZHU. Low speed bearing fault diagnosis using acoustic emission sensors: Review and application for low speed slew bearing. *Applied Acoustics* [online]. 2016, **105**, 35-44 [cit. 2016-05-01]. DOI: 10.1016/j.apacoust.2015.10.028. ISSN 0003682x.
- [11] *Acoustic Emission Sensors* [online]. [cit. 2016-05-01]. Dostupné z: <http://www.soundwel.cn/enproducts/67.html>
- [12] *Monitoring of health of a bridge using acoustic emission technique* [online]. [cit. 2016-05-01]. Dostupné z: <https://my.vanderbilt.edu/ozguryapar/research-experience/ae/>
- [13] SUCHANEK, D. *Úprava zkušebního zařízení ložisek pro aplikaci metody akustické emise*. Brno: Vysoké učení technické v Brně, Fakulta strojního inženýrství, 2009. 68 s. Vedoucí diplomové práce doc. Ing. Pavel Mazal, CSc.
- [14] KEKYRAS, S., C., WILCOX, S., J., BORTHWICK, W., D., K., REUBEN, R, L. Acoustic Emission monitoring of Turning Operations using PVdF Film and PZT Sensors. AEWG 35. Boston 1991, p. 72 – 79
- [15] BRECKENRIDGE, Franklin R. Surface-wave displacement: Absolute measurements using a capacitive transducer. Boston. ISBN 10.1121/1.385698.
- [16] J. Szelazek: Elektromagneto-akustické ultrazvukové převodníky - konstrukční příklady a použití. ASNT: Materials Evaluation. 1996, vol. 54 (8), s. 926 – 934.
- [17] ENOKI, M., M. WATANABE, P. CHIVAVIBUL a T. KISHI. Non-contact measurement of acoustic emission in materials by laser interferometry. Kidlington, Oxford: Elsevier, c2000-, v. ISBN 10.1016/s1468-6996(00)000176.
- [18] Resonant Acoustic NDT Technologies [online]. [cit. 2015-05-21]. Dostupné z: <http://www.resonic.com>.
- [19] *System Dakel Xedo* [online]. [cit. 2017-05-11]. Dostupné z: <http://www.dakel.cz/index.php?pg=prod/dev/xedo>

- [20] AC motor speed controller circuit. Electroschematics [online]. [cit. 2017-05-17]. Dostupné z: <http://www.electroschematics.com>
- [21] KARS Elektromotory. *KARS* [online]. [cit. 2017-05-17]. Dostupné z: <https://www.kars-brno.cz>
- [22] Spojka EK7. *R+W Couplings* [online]. [cit. 2017-05-17]. Dostupné z: <http://www.rw-america.com>

## **9 ZOZNAM POUŽITÝCH SKRATIEK, SYMBOLOV A VELIČÍN**

<i>AE</i>		akustická emisia
<i>RMS</i>	mV	root mean square
<i>NDT</i>		nedeštruktívne skúšanie
<i>EMAT</i>		electromagnetic acoustic transducer
<i>NB</i>		Non-damage bearing
<i>DC</i>		Damage cage
<i>DOC</i>		Damage of outer circuit
<i>DIC</i>		Damage of inner circuit

**10 ZOZNAM OBRÁZKOV A GRAFOV**

<b>Obr. 1-1</b> Princíp Akustickej emisie [12]	13
<b>Obr. 2-1</b> Typy piezoelektrických AE snímačov [11]	15
<b>Obr. 2-2</b> Detail piezoelektrického AE snímača [8]	15
<b>Obr. 2-3</b> Princíp elektromagneticko-akustického snímača [18]	16
<b>Obr. 2-4</b> Ukážka frekvenčných a časových charakterísk snímačov AE [4]	17
<b>Obr. 2-5</b> Absolútna kalibrácia AE snímačov realizovaná na FEKT [4]	18
<b>Obr. 2-6</b> Relatívna kalibrácia AE snímačov [4]	19
<b>Obr. 2-7</b> Stanica pre skúšky pomalybežných ložísk [10]	20
<b>Obr. 2-8</b> Stanica pre skúšky pomalybežných ložísk [10]	20
<b>Obr. 2-9</b> Stanica pre skúšky otočných ložísk [2]	21
<b>Obr. 2-10</b> Detail stanice pre skúšky otočných ložísk [2]	21
<b>Obr. 2-11</b> Stanica pre skúšky radiálnych ložísk [13]	22
<b>Obr. 2-12</b> Model stanice pre skúšky radiálnych ložísk [13]	23
<b>Obr. 2-13</b> Modifikovaný model stanice pre skúšky radiálnych ložísk pomocou metódy AE [13]	23
<b>Obr. 3-1</b> Parametre AE hitu pre jednu udalosť [2]	24
<b>Obr. 4-1</b> Koncept experimentálneho zariadenia vzniknuté modifikáciou metalografickej brúsky	26
<b>Obr. 4-2</b> Rotačné prvky koncepčného riešenia (oranžová farba značí rotačné prvky)	27
<b>Obr. 4-3</b> Skelet metalografickej brúsky	27
<b>Obr. 4-4</b> Model kalibračnej časti s podpernými ložiskami	28
<b>Obr. 4-5</b> Model s voľným koncom hriadeľu	28
<b>Obr. 4-6</b> Model s podperným hrotom	29
<b>Obr. 4-7</b> Schéma experimentálneho zariadenia	29
<b>Obr. 4-8</b> Favorizované riešenie	30
<b>Obr. 4-9</b> Hsu-Nieslenov zdroj	30
<b>Obr. 4-10</b> Hity AE získané Hsu- Nielsenovým zdrojom	31
<b>Obr. 4-11</b> Merací reťazec pre kalibráciu	31
<b>Obr. 4-12</b> Systém DAKEL XEDO	32
<b>Obr. 4-13</b> Nastavenie konfigurácie systému v programe Daemon	33
<b>Obr. 4-14</b> Príklad frekvenčnej charakteristiky typu MDK-13	35
<b>Obr. 4-15</b> Snímače použité pri kalibrácii	36
<b>Obr. 5-1</b> 3D model experimentálneho zariadenia	37
<b>Obr. 5-2</b> Posunutie kalibračnej časti pre možnosť uloženia ihličkových ložísk	38
<b>Obr. 5-3</b> Kalibračné teleso	39
<b>Obr. 5-4</b> Umiestnenie snímačov na experimentálne zariadenie	39
<b>Obr. 5-5</b> Schéma zapojenia elektromotoru [16]	40
<b>Obr. 5-6</b> Regulátor otáčok pre elektromotory menších výkonov	40
<b>Obr. 5-7</b> Zostavený prototyp experimentálneho zariadenia	41
<b>Obr. 5-8</b> Prototyp experimentálneho zariadenia	42
<b>Obr. 5-9</b> Schéma experimentu s pentestom	43
<b>Obr. 5-10</b> Maximálne amplitúdy pre zosilnenie 5 dB	44
<b>Obr. 5-11</b> Maximálne amplitúdy pre zosilnenie 10 dB	44
<b>Obr. 5-12</b> Príklad grafu nameraných hodnôt v časovom spektre	46

<b>Obr. 5-13</b> Hodnoty RMS v závislosti na čase pri meraní s 0 dB zosilnením a ložiskom s poškodeným vonkajším krúžkom	47
<b>Obr. 8-14</b> Hodnoty RMS v závislosti na čase pri meraní s 0 dB zosilnení a ložiskom s poškodenou klietkou	47
<b>Obr. 5-15</b> Hodnoty RMS v závislosti na čase pri meraní s 10 dB zosilnení a ložiskom s poškodeným vnútorným krúžkom	48
<b>Obr. 5-16</b> Hodnoty RMS v závislosti na čase pri meraní s 20 dB zosilnení a ložiskom s poškodeným vnútorným krúžkom	49
<b>Obr. 5-17</b> Hodnoty sledovanej veličiny pri 5 minútovom meraní s 20 dB zosilnením a ložiskom s poškodeným vnútorným krúžkom	50
<b>Obr. 5-18</b> Hodnoty sledovanej veličiny pri meraní v ľavom zmysle otáčania s 20 dB zosilnením a ložiskom s poškodeným vnútorným krúžkom	51
<b>Obr. 5-19</b> Hodnoty sledovanej veličiny RMS pri meraní bez väzbového média s 20 dB zosilnením a ložiskom s poškodenou klietkou	51
<b>Obr. 5-20</b> Charakteristika citlivosti v závislosti na type poškodenia snímača MDK-13-1	52
<b>Obr. 5-21</b> Charakteristika citlivosti v závislosti na type poškodenia snímača MDK-13-2	53
<b>Obr. 5-22</b> Charakteristika citlivosti v závislosti na type poškodenia snímača MDK-13-3	54
<b>Obr. 5-23</b> Charakteristika citlivosti v závislosti na type poškodenia snímača MDK-13-4	55
<b>Obr. 5-24</b> Program Daemon pri experimente v reálnom čase	56

**11 ZOZNAM TABULIEK**

<b>Tab. 1</b> Skratky popisov ložísk	45
<b>Tab. 2</b> Počiatočná hladina komunikačných kanálov použitého analyzátoru Dakel Xedo	46
<b>Tab. 3</b> Priemery sledovaných hodnôt RMS pri 0 zosilnení	48
<b>Tab. 4</b> Priemery sledovaných hodnôt RMS pri ložisku DIC a 10dB zosilnení	49
<b>Tab. 5</b> Priemery sledovaných hodnôt RMS pri ložisku DIC s 20dB zosilnením	49
<b>Tab. 6</b> Priemery RMS signálu DIC, zosilnenie 20 dB, 5 minútový test	50
<b>Tab. 7</b> Priemery RMS signálu DIC, zosilnenie 20 dB, ľavý zmysel otáčania	50
<b>Tab. 8</b> Aritmetické priemery RMS snímača MDK-13-1	53
<b>Tab. 9</b> Aritmetické priemery RMS snímača MDK-13-2	53
<b>Tab. 10</b> Aritmetické priemery RMS snímača MDK-13-3	54
<b>Tab. 11</b> Aritmetické priemery RMS snímača MDK-13-4	54
<b>Tab. 12</b> Hodnoty relatívnej citlivosti snímača MDK-13-1 vyjadrené v %	56
<b>Tab. 13</b> Hodnoty relatívnej citlivosti snímača MDK-13-2 vyjadrené v %	56
<b>Tab. 14</b> Hodnoty relatívnej citlivosti snímača MDK-13-3 vyjadrené v %	56

---

## 12 ZOZNAM PRÍLOH

- Funkčný vzorek experimentálneho zariadenia
- Laboratórny protokol kalibrácie snímača
- Výkres zostavy experimentálneho zariadenia